



گزارش امتحان پایان ترم درس کنترل مدرن  
مدلسازی ، طراحی کنترل کننده و رویتر برای هلیکوپتر سه درجه آزادی شرکت کوانسر

استاد درس : جناب آقای دکتر فرزاد آ. شیرای

دستیار آموزشی: م. ح. مختارآبادی

نویسنده : یاسین ریاضی

۸۱۰۶۰۰۲۰۳

بهمن ماه ۱۴۰۰

## چکیده

ذهن کنجکاو بشر همواره به دنبال درک روابط و ساختارهای منطقی بین اجزای تشکیل دهنده جهان بوده است و نتیجه تلاش‌های وی به عنوان قوانین در دسترس می‌باشند.

گام بعدی پس از کشف قوانین استفاده هدفمند از آن‌ها می‌باشد بنابراین نیاز به کنترل سیستم‌های پویا حس می‌شود.

مدل‌سازی سیستم با استفاده از سیم‌اسکیت در متلب و پل بین آدامز و سیمولینک ایجاد شده است و نتایج حاصل از شبیه‌سازی بسیار به هم شبیه بودند با این تفاوت که سیم‌اسکیپ بسیار سریع‌تر از آدامز جواب را محاسبه می‌کرد.

در این گزارش کار با استفاده از آموخته‌های درس کنترل مدرن به مدل‌سازی و تلاش برای مقید نگه داشتن یک هلیکوپتر با سه درجه آزادی شده است. ماهیت سیستم مورد بررسی چند ورودی و چند خروجی می‌باشد و از تیوری‌های کنترل/رویت پذیری، طراحی فیدبک حالت، کنترل انتگرال‌گیر، رویتگر مرتبه کامل و کاهش یافته استفاده شده است.

محوریت کار بر سیستم خطی سازی شده در فضای حالت بوده است و از نتایج حاصل می‌توان گفت به علت ماهیت پیچیده سیستم کنترل‌های طراحی شده برای بازه کوچکی اثربخش هستند و در صورت نیاز به فضای کاری بزرگ‌تر باید از روش‌های دیگر استفاده کرد.

کلیدواژه‌ها: سیم‌اسکیت، MIMO، تیوری‌های کنترل/رویت پذیری، طراحی فیدبک حالت، کنترل انتگرال‌گیر، رویتگر مرتبه کامل، رویتگر کاهش یافته

## فهرست

1	مقدمه و بیان فرضیات.....	۱
۲	مدل سازی غیر خطی.....	۳
۲/۱	انرژی پتانسیل برای کل مجموعه.....	۳
2.2	انرژی جنبشی.....	۳
2.3	نیروهای خارجی تعمیم یافته.....	۴
۲/۳/۱	برای ارتفاع.....	۴
۲/۳/۲	برای فراز.....	۴
۲/۳/۳	برای حرکت.....	۴
2.4	حل معادله لاگرانژ.....	۴
۲/۵	مدل سازی سیستم غیر خطی در سیمولینک با استفاده از هسته آدامز.....	۵
۳	خطی سازی معادلات لاگرانژ و بررسی پایداری.....	۸
۴	پایداری سیستم.....	۹
4.1	پایداری سیستم را از لحاظ BIBO.....	۹
۴/۲	پایداری سیستم را از لحاظ لیپانوف.....	۹
۴/۳	پایداری سیستم را از لحاظ مارچینال.....	۹
4.4	کنترل و رویت پذیری.....	۱۰
۵	طراحی کنترل کننده و رویتگر.....	۱۱
5.1	طراحی کنترل کننده فید بک.....	۱۱
۵/۱/۱	مقدمه.....	۱۱
۵/۱/۲	فیدبک برای سیستم خطی سازی شده.....	۱۱
۵/۱/۳	فیدبک برای سیستم غیر خطی.....	۱۴
۵/۲	کنترل ردیاب انتگرال گیر.....	۱۶
۵/۲/۱	مقدمه.....	۱۶
۵/۲/۲	طراحی سیستم با ردیاب انتگرال گیر برای ورودی پله.....	۱۷
۵/۲/۳	قسمت ۸-۱ مقاومت در برابر تغییر پارامترهای سیستم.....	۱۸
۵/۲/۴	قسمت ۸-۲ از گزارش.....	۱۹
۵/۳	طراحی رویتگر برای کنترل ردیاب انتگرال گیر.....	۲۱
۵/۳/۱	مقدمه.....	۲۱
۵/۳/۲	ساختار و خواص رویتگرها.....	۲۱
۵/۳/۳	طراحی رویتگر مرتبه کامل برای کنترل ردیاب انتگرال گیر.....	۲۱
۵/۴	طراحی رویتگر کاهش یافته برای کنترل ردیاب انتگرال گیر.....	۲۴
۵/۴/۱	مقدمه.....	۲۴
۵/۴/۲	روش.....	۲۴

۲۵	..... 5.4.3 مدل سازی
۲۷	..... ۵/۵ فیدبک حالت با رویتگر کاهش مرتبه یافته
۲۷	..... ۵/۵/۱ مقدمه و روش کار
۲۷	..... ۵/۵/۲ مدل سازی در سیمولینک
۲۸	..... ۶ ارائه نتایج
۲۹	..... ۷ جمع بندی و نتیجه گیری
۳۰	..... ۸ مراجع
۳۱	..... ۹ پیوست ها

شکل ۱-۱	هلیکوپتر ۳ درجه آزادی به هنگام عملکرد	۱
شکل ۱-۲	نمودار جسم آزاد هلیکوپتر ۳ درجه آزادی	۲
شکل ۲-۱	مدل غیر خطی مسئله در آدامز	۶
شکل ۲-۲	Plant Export	۶
شکل ۲-۳	مدل سیم اسکپ	۷
شکل ۲-۴	خروجی مدل خطی با دو ورودی پله و شرط اولیه ۱ درجه برای اپسیلون	۷
شکل ۵-۱	نمای سیستم با فیدبک حالت (Chen 1999)	۱۱
شکل ۵-۲	بلوک فضای حالت به همراه شرایط اولیه	۱۲
شکل ۵-۳	بلوک دیاگرام به همراه شرایط اولیه انتگرال گیر	۱۲
شکل ۵-۴	اختلاف دوشیوه نمایش فیدبک حالت	۱۲
شکل ۵-۵	برای زاویه $\varepsilon$ (آبی : تند ، زرد : کند)	۱۳
شکل ۵-۶	برای زاویه $\rho$ (آبی : تند ، زرد : کند)	۱۳
شکل ۵-۷	برای زاویه $\lambda$ (آبی : تند ، زرد : کند)	۱۳
شکل ۵-۸	فید بک حالت برای سیستم غیرخطی با جایابی قطب سریع	۱۴
شکل ۵-۹	فید بک حالت برای سیستم غیرخطی با جایابی قطب کند	۱۵
شکل ۵-۱۰	مدل سیستم با انگرال گیر پله	۱۷
شکل ۵-۱۱	خروجی سیستم	۱۸
شکل ۵-۱۲	مدل سیمولینک سیستم خطی سازی شده به همراه اغتشاش	۱۹
شکل ۵-۱۳	نمودار ورودی‌های به سیستم $[-9.5 - 9 - 15 - 16 - 7 - 5.5 - 6.5]$	۱۹
شکل ۵-۱۴	خروجی‌های سیستم با مقادیر ویژه $[-9.5 - 9 - 15 - 16 - 7 - 5.5 - 6.5]$	۲۰
شکل ۵-۱۵	نمودار ورودی‌های به سیستم $96 - 9.5 - 9 - 15 - 16 - 7 - 5.5 - 6.5$	۲۰
شکل ۵-۱۶	خروجی‌های سیستم با مقادیر ویژه $96 - 9.5 - 9 - 15 - 16 - 7 - 5.5 - 6.5$	۲۰
شکل ۵-۱۷	مدل سیستم در سیمولینک	۲۱
شکل ۵-۱۸	تخمین سه خروجی سیستم ، تخمین‌ها به صورت منقطع در بازه ۰ تا ۱۰ با فرض شرط اولیه ۰.۱ برای همدی زاویه‌ها	۲۲
شکل ۵-۱۹	نمای بزرگ‌نمایی شده از میدا نمودار تخمین زده شده مرتبه تمام در بازه زمانی ۰ تا ۲ ثانیه	۲۲
شکل ۵-۲۰	نمودارهای متغیرهای حالت به تفکیک و به ترتیب $\varepsilon \rho \lambda T$	۲۳
شکل ۵-۲۱	نمودار ورودی‌ها	۲۳
شکل ۵-۲۲	سیستم با رویترگر کاهش یافته	۲۵
شکل ۵-۲۳	خطای تخمین	۲۵
شکل ۵-۲۴	جمله $Tn - l \times lyl \times 1t$	۲۶
شکل ۵-۲۵	خروجی تخمین زننده کاهش یافته	۲۶
شکل ۵-۲۶	فیدبک-تخمین زننده کاهش یافته	۲۷
شکل ۵-۲۷	خروجی سیستم	۲۷

## فهرست نمادها

نمادهای استفاده شده در این گزارش

$u_0$	ولتاژ لازم برای معلق ماندن هلیکوپتر
$u_{f_0}$	ولتاژ مورد نیاز فن جلویی برای معلق نگه داشتن هلیکوپتر
$u_{b_0}$	ولتاژ مورد نیاز فن عقبی برای معلق نگه داشتن هلیکوپتر

نمادهای لاتین استفاده شده در این گزارش

$\varepsilon$	درج آزادی ارتفاع
$\rho$	درجه آزادی فراز
$\lambda$	درجه آزادی حرکت

ثابت‌های اولیه برای تمامی قسمت‌های کد نویسی شده متلب این گزارش

```
%
% Constant
%
g=9.81; Kf=0.1188 %[Newton/Volt];
% Meter
La=0.66; Lh=0.178; Lw=0.47;
% KG
Mw=1.78; Mf=0.713; Mb=0.713; Mh=1.15;
%
CA1=-((Lw*Mw-La*(Mf+Mb))/(Mw*Lw*Lw+Lh*Lh*(Mf+Mb)+La*La*(Mf+Mb)))
CB1=(La*Kf)/(La^2*(Mf+Mb)+Mw*Lw^2)
CB2=0.5*(Kf/(Mf*Lh))

A=[0 0 0 1 0 0;0 0 0 0 1 0;0 0 0 0 0 1;0 0 0 0 0 0;0 0 0 0 0 0;0 CA1 0 0 0 0]
B=[0 0;0 0;0 0;CB1 CB1;CB2 -CB2;0 0]
C=[1 0 0 0 0 0;0 1 0 0 0 0;0 0 1 0 0 0]
D=[0 0;0 0;0 0]
```

## ۱ مقدمه و بیان فرضیات

معادله اوایلر یا معادله لاگرانژ هم شناخته می‌شود. نام یک معادله دیفرانسیل شناخته شده است. جواب‌های این معادله دیفرانسیل، تابع‌هایی هستند که یک تابعی معین را تعادلی می‌کنند. این معادله دیفرانسیل را لئونارد اوایلر، ریاضیدان سوئیسی و ژوزف لویی لاگرانژ، ریاضیدان ایتالیایی در دهه ۱۷۵۰ میلادی به دست آوردند.

از آنجایی که یک تابع مشتق‌پذیر، در نقطه بیشینه یا کمینه‌ی موضعی خود تعادلی می‌شود، معادله اوایلر-لاگرانژ، زمانی کاربردی است که بخواهیم مسئله‌ای مربوط به بهینه‌سازی را حل کنیم و در آن یک تابعی معین داده شده و می‌خواهیم این تابعی را کمینه یا بیشینه کنیم. این قضیه قابل مقایسه با قضیه فرما در حساب دیفرانسیل و انتگرال است که می‌گوید یک تابع مشتق‌پذیر، در نقطه‌ای اکسترمم موضعی دارد که مشتق آن صفر شود.

$$S(q) = \int_a^b L(t, q(t), q'(t)) dt$$

$$q: [a, b] \subset \mathbb{R} \rightarrow X$$

$$t \mapsto x = q(t)$$

در این صورت معادله اوایلر-لاگرانژ، معادله زیر است که هر تابع  $q$  ای که در آن صدق کند، مقدار انتگرال را اکسترمم می‌کند:

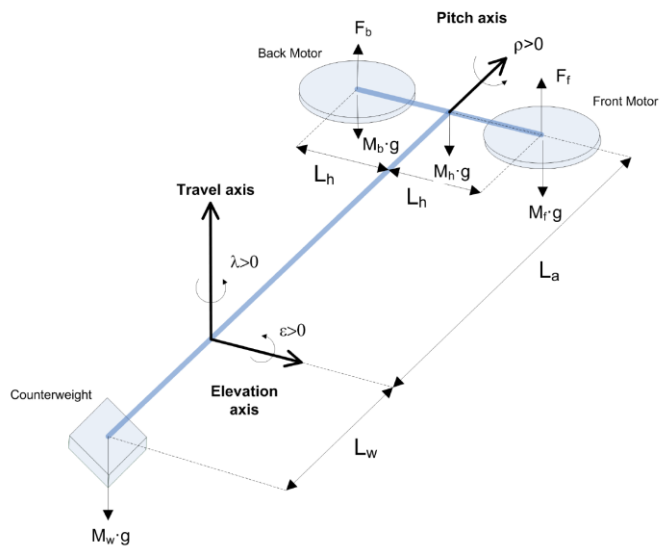
$$L_x(t, q(t), q'(t)) - \frac{d}{dt} L_v(t, q(t), q'(t)) = 0$$

در رابطه بالا،  $L_x$  مشتق جزئی  $L$  نسبت به  $q$  و  $L_v$  مشتق جزئی  $L$  نسبت به  $q'$  می‌باشد.

سیستم هلیکوپتر ۳ درجه آزادی شرکت کوانزر نشان داده شده در شکل ۱ را در نظر گرفته.



شکل ۱-۱ هلیکوپتر ۳ درجه آزادی به هنگام عملکرد



شکل ۲-۱ نمودار جسم آزاد هلیکوپتر ۳ درجه آزادی



## ۲ مدل سازی غیر خطی

بالگرد سه درجه آزادی بر پایه‌ای پایدار مونتاژ می‌شود و اجزای اصلی آن عبارتند از یک میله، یک گردان از یک روتور دو برابر و وزنه متعادل کننده. میله اصلی به روشی مونتاژ می‌شود که به روتور اجازه می‌دهد تا در مسیر دایروی شکلی پیوسته چرخش کند. این حرکت چرخشی حرکت<sup>۱</sup> نامیده می‌شود. داخل میله اصلی یاتاقان‌هایی قرار دارد که حرکت دورانی تیر به بالا و پایین را می‌دهد این درجه آزادی را ارتفاع<sup>۲</sup> می‌گویند. در انتهای تیر یک قسمت یک میله‌ی دیگر به صورت عمودی با استفاده از یک یاتاقان دیگر متصل شده است که درجه آزادی سوم هلیکوپتر را ایجاد می‌کند و به آن فراز<sup>۳</sup> می‌گویند. این هلیکوپتر سه درجه آزادی با استفاده از دو موتور فن دار که در انتهای سر  $T$  شکل تیر نصب شده‌اند و کنترل ولتاژ ورودی به موتورهای جلو و عقب مجموعه را می‌توان کنترل نمود.

درجات آزادی سیستم زوایای  $\epsilon$ ،  $\rho$  و  $\lambda$  به ترتیب حول محورهای ارتفاع<sup>۴</sup> فراز<sup>۵</sup> و حرکت<sup>۶</sup> نشان داده شده در شکل ۲ هستند.

وضعیت مرکز جرم وزنه کناری

$$\begin{aligned}x_{cw} &= -\sin(\lambda(t)) \cos(\epsilon(t)) L_w \\y_{cw} &= -\cos(\lambda(t)) \cos(\epsilon(t)) L_w \\z_{cw} &= -\sin(\epsilon(t)) L_w\end{aligned}$$

وضعیت مرکز جرم موتور جلویی

$$\begin{aligned}x_{fm} &= \cos(\lambda(t)) \cos(\rho(t)) L_h - \sin(\lambda(t)) \sin(\epsilon(t)) \sin(\rho(t)) L_h + \sin(\lambda(t)) \cos(\epsilon(t)) L_a \\y_{fm} &= -\sin(\lambda(t)) \cos(\rho(t)) L_h - \cos(\lambda(t)) \sin(\epsilon(t)) \sin(\rho(t)) L_h + \cos(\lambda(t)) \cos(\epsilon(t)) L_a \\z_{fm} &= \cos(\epsilon(t)) \sin(\rho(t)) L_h + \sin(\epsilon(t)) L_a\end{aligned}$$

وضعیت مرکز جرم موتور عقبی

$$\begin{aligned}x_{bm} &= -\cos(\lambda(t)) \cos(\rho(t)) L_h + \sin(\lambda(t)) \sin(\epsilon(t)) \sin(\rho(t)) L_h + \sin(\lambda(t)) \cos(\epsilon(t)) L_a \\y_{bm} &= \sin(\lambda(t)) \cos(\rho(t)) L_h + \cos(\lambda(t)) \sin(\epsilon(t)) \sin(\rho(t)) L_h + \cos(\lambda(t)) \cos(\epsilon(t)) L_a \\z_{bm} &= -\cos(\epsilon(t)) \sin(\rho(t)) L_h + \sin(\epsilon(t)) L_a\end{aligned}$$

### ۲/۱ انرژی پتانسیل برای کل مجموعه

$$V_T = -\left((M_w L_w - (M_b + M_f + M_h) L_a) \sin(\epsilon(t)) + (M_b - M_f) L_h \sin(\rho(t)) \cos(\epsilon(t))\right) g$$

### ۲/۲ انرژی جنبشی

$$\frac{1}{2} (M_w L_w^2) (\dot{\epsilon} + \dot{\lambda})^2 \quad \text{برای میله و وزنه جانبی}$$

$$\frac{1}{2} ((M_h + M_b + M_f) L_a^2) (\dot{\epsilon} + \dot{\lambda})^2 \quad \text{برای میله نگه دارنده فن‌ها}$$

$$\frac{1}{2} (M_b (L_a + L_h)^2) (\dot{\epsilon} + \dot{\lambda} + \dot{p})^2 + \frac{1}{2} (M_f (L_a + L_h)^2) (\dot{\epsilon} + \dot{\lambda} + \dot{p})^2 \quad \text{برای فن‌ها}$$

<sup>1</sup> Travel

<sup>2</sup> Elevation

<sup>3</sup> Pitch

<sup>4</sup> Elevation

<sup>5</sup> Pitch

<sup>6</sup> Travel

$$T_T = \frac{1}{2} \left( \left( (M_h + M_b + M_f) L_a^2 + M_w L_w^2 \right) (\epsilon + \lambda)^2 + (M_b (L_a + L_h)^2 + M_f (L_a + L_h)^2) (\dot{\epsilon} + \dot{\lambda} + \dot{p})^2 \right)$$

۲/۳ نیروهای خارجی تعمیم یافته

۲/۳/۱ برای ارتفاع

$$Q_e \text{ elevation } Q_1 = K_f L_a (T_f + T_b)$$

۲/۳/۲ برای فراز

$$Q_p \text{ pitch } Q_2 = K_f (T_f - T_b) L_h$$

۲/۳/۳ برای حرکت

$$Q_t \text{ travel } Q_3 = K_f L_a (T_f + T_b) \sin(p(t))$$

در مجموع

$$Q = [K_f L_a (T_f + T_b), K_f (T_f - T_b) L_h, L_a K_f (T_f + T_b) \sin(p(t))]$$

۲/۴ حل معادله لاگرانژ

$$\frac{\partial}{\partial t} \left( \frac{\partial}{\partial \dot{q}_i} L \right) - \left( \frac{\partial}{\partial q_i} L \right) = Q_i$$

پس از حل معادله لاگرانژ و جایگزینی  $[X_1 \ X_2 \ X_3 \ X_4 \ X_5 \ X_6]^T$  به جای  $[\epsilon \ \dot{\epsilon} \ p \ \dot{p} \ \lambda \ \dot{\lambda}]^T$  معادلات زیر به دست می آید.

برای  $i = 1$

$$\begin{aligned} & (-L_h^2 (m_f + m_b) \cos(X_2)^2 + L_h^2 (m_f + m_b) + (m_f + m_b) L_a^2 + L_w^2 m_w) \dot{X}_4 \\ & + L_h \cos(X_2) (\sin(X_2) L_h (m_f + m_b) \cos(X_1) - \sin(X_1) L_a (m_b - m_f)) \dot{X}_6 - \cos(X_2) L_a L_h (m_b - m_f) \dot{X}_5 \\ & + (-2 \sin(X_2) L_a L_h (m_b - m_f) \cos(X_1)^2 \\ & + \sin(X_1) (L_h^2 (m_f + m_b) \cos(X_2)^2 + (-m_b - m_f) L_h^2 + (m_f + m_b) L_a^2 + L_w^2 m_w) \cos(X_1) + \sin(X_2) L_a L_h (m_b - m_f)) X_6^2 \\ & + 2 L_h (L_h (\cos(X_2) - 1) (\cos(X_2) + 1) (m_f + m_b) \cos(X_1) + \sin(X_2) \sin(X_1) L_a (m_b - m_f)) X_5 X_6 \\ & + \sin(X_2) L_a L_h (m_b - m_f) X_5^2 + 2 \cos(X_2) \sin(X_2) X_4 L_h^2 (m_f + m_b) X_5 \\ & + ((m_f + m_b) L_a - m_w L_w) \cos(X_1) + \sin(X_2) \sin(X_1) L_h (m_b - m_f)) g = L_a K_f (U_1 + U_2) \end{aligned}$$

برای  $i = 2$

$$\begin{aligned} & -\cos(X_2) L_a L_h (m_b - m_f) \dot{X}_4 - L_h (-\sin(X_2) L_a (m_b - m_f) \cos(X_1) - \sin(X_1) L_h (m_f + m_b)) \dot{X}_6 + L_h^2 (m_f + m_b) \dot{X}_5 \\ & - \cos(X_2) \sin(X_2) L_h^2 (m_f + m_b) X_4^2 \\ & - 2 L_h (L_h (\cos(X_2) - 1) (\cos(X_2) + 1) (m_f + m_b) \cos(X_1) + \sin(X_2) \sin(X_1) L_a (m_b - m_f)) X_6 X_4 \\ & + L_h \cos(X_1) \cos(X_2) (\sin(X_2) L_h (m_f + m_b) \cos(X_1) - \sin(X_1) L_a (m_b - m_f)) X_6^2 \\ & - \cos(X_2) \cos(X_1) L_h (m_b - m_f) g = K_f (U_1 - U_2) L_h \end{aligned}$$

برای  $i = 3$

$$\begin{aligned}
& \left( \sin(X_2)L_h(m_f + m_b)\cos(X_1) - \sin(X_1)L_a(m_b - m_f) \right) L_h \cos(X_2) \dot{X}_4 + \left( (L_h^2(m_f + m_b)\cos(X_2)^2 + \right. \\
& (-m_b - m_f)L_h^2 + (m_f + m_b)L_a^2 + L_w^2 m_w) \cos(X_1)^2 + 2\sin(X_2)\sin(X_1)L_a L_h(m_b - m_f)\cos(X_1) + L_h^2(m_f + m_b) \Big) \dot{X}_6 + \\
& L_h \left( \sin(X_2)L_a(m_b - m_f)\cos(X_1) + \sin(X_1)L_h(m_f + m_b) \right) \dot{X}_5 - L_h \left( L_a(m_b - m_f)\cos(X_1) + \sin(X_2)\sin \right. \\
& (X_1)L_h(m_f + m_b) \Big) \cos(X_2)X_4^2 + \left( (4\sin(X_2)L_a L_h(m_b - m_f)\cos(X_1)^2 - 2\sin(X_1)(L_h^2(m_f + m_b)\cos(X_2)^2 + \right. \\
& (-m_b - m_f)L_h^2 + (m_f + m_b)L_a^2 + L_w^2 m_w) \cos(X_1) - 2\sin(X_2)L_a L_h(m_b - m_f) \Big) X_6 + 2\cos(X_2)^2 X_5 \cos \\
& (X_1)L_h^2(m_f + m_b) \Big) X_4 - 2X_5 \left( \sin(X_2)L_h(m_f + m_b)\cos(X_1) - \sin(X_1)L_a(m_b - m_f) \right) \cos(X_1)L_h \cos(X_2)X_6 + \\
& X_5^2 L_a(m_b - m_f)\cos(X_1)L_h \cos(X_2) = L_a K_f (U_1 + U_2) \sin(X_2)
\end{aligned}$$

پس از ساده سازی

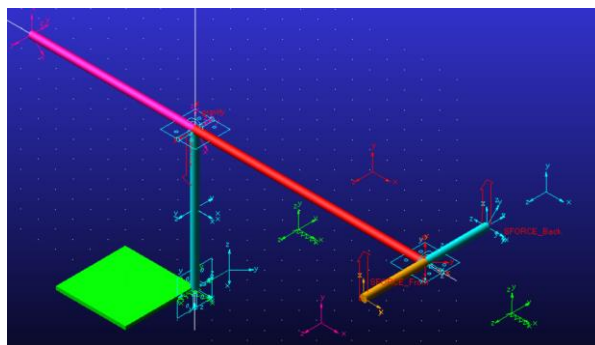
$$\begin{cases}
(M_f L_a^2 + M_b L_a^2 + M_w L_w^2 - M_h L_a^2) \ddot{\varepsilon}(t) + (M_f + M_b) g L_a \sin(\varepsilon) - M_w g L_w \sin(\varepsilon) + M_h g L_a \sin(\varepsilon) = (V_f(t) + V_b(t)) K_t L_a \cos(p) \\
(M_f L_h^2 + M_b L_h^2) \ddot{p}(t) + (M_f - M_b) g L_h \sin(p) = (V_f(t) - V_b(t)) K_t L_h \\
(M_w L_w^2 - M_h L_a^2 + M_f L_a^2 + M_b L_a^2) \ddot{\lambda}(t) = (V_f(t) + V_b(t)) K_t L_a \cos(\varepsilon) \sin(p) + (V_f(t) + V_b(t)) K_t L_h \cos(p) \sin(\varepsilon)
\end{cases}$$

$$\begin{aligned}
& \xrightarrow{yields} \dot{x} = h(x(t), u(t), t), \quad \begin{bmatrix} \dot{x}_1 \\ \dot{x}_2 \\ \dot{x}_3 \\ \dot{x}_4 \\ \dot{x}_5 \\ \dot{x}_6 \end{bmatrix} = \begin{bmatrix} h_1(x(t), u(t), t) \\ h_2(x(t), u(t), t) \\ h_3(x(t), u(t), t) \\ h_4(x(t), u(t), t) \\ h_5(x(t), u(t), t) \\ h_6(x(t), u(t), t) \end{bmatrix}
\end{aligned}$$

$$\begin{bmatrix} \dot{x}_1 \\ \ddot{\varepsilon}(t) = \dot{x}_2 \\ \dot{x}_3 \\ \ddot{p}(t) = \dot{x}_4 \\ \dot{x}_5 \\ \ddot{\lambda}(t) = \dot{x}_6 \end{bmatrix} = \begin{bmatrix} x_2 \\ \frac{(V_f(t) + V_b(t)) K_t L_a \cos(p) - ((M_f + M_b) g L_a \sin(\varepsilon) - M_w g L_w \sin(\varepsilon) + M_h g L_a \sin(\varepsilon))}{(M_f L_a^2 + M_b L_a^2 + M_w L_w^2 - M_h L_a^2)} \\ x_4 \\ \frac{(V_f(t) - V_b(t)) K_t L_h - (M_f - M_b) g L_h \sin(p)}{(M_f L_h^2 + M_b L_h^2)} \\ x_6 \\ \frac{(V_f(t) + V_b(t)) K_t L_a \cos(\varepsilon) \sin(p) + (V_f(t) + V_b(t)) K_t L_h \cos(p) \sin(\varepsilon)}{(M_w L_w^2 - M_h L_a^2 + M_f L_a^2 + M_b L_a^2)} \end{bmatrix}$$

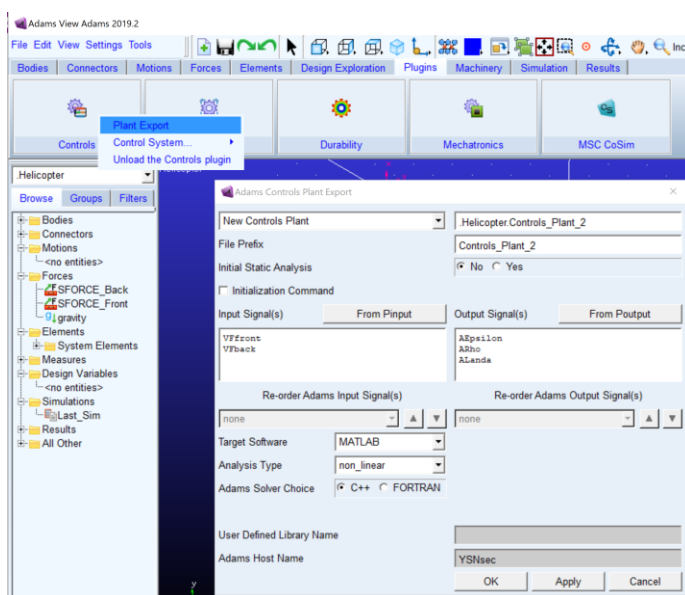
۲/۵ مدل سازی سیستم غیر خطی در سیمولینک با استفاده از هسته آدامز

ابتدا سیستم به همراه مشخصات موجود در مسئله را در آدامز ایجاد کرده



شکل ۱-۲: مدل غیر خطی مسئله در آدامز

سپس خروجی سیستم را برای متلب گرفته



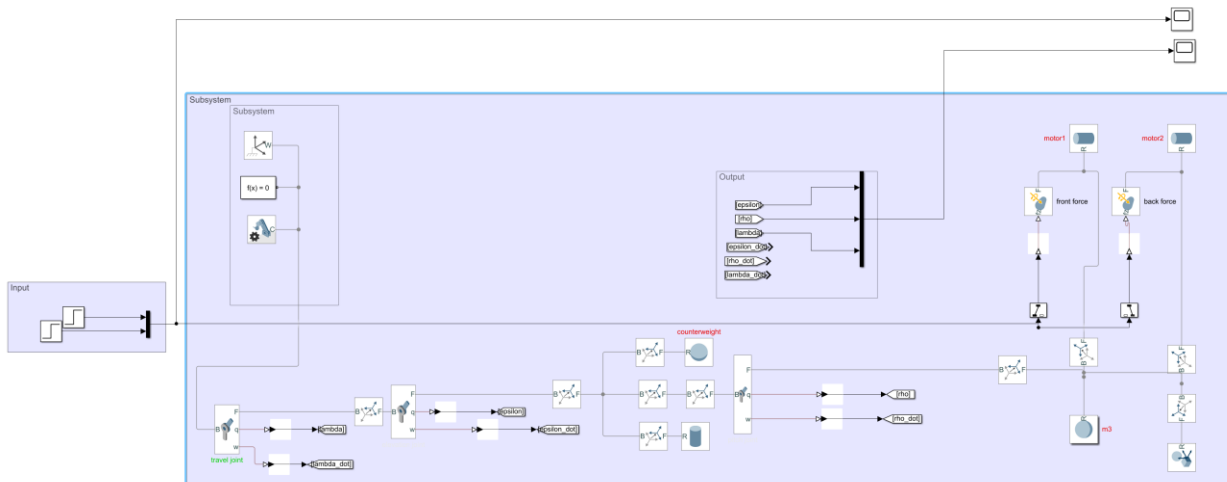
شکل ۲-۲: Plant Export

در متلب ابتدا فایل Controls\_Plant\_2.m را اجرا کرده تا ضرایب مورد نیاز برای مدل سیمولینک ایجاد شوند.

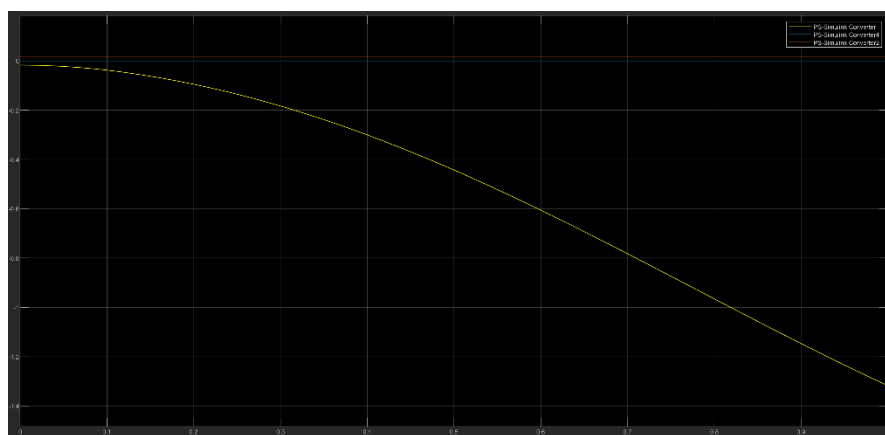
توجه: به آدامز ۲۰۱۹ و بالاتر نیاز است/در صورت تغییر مسیر نصب نرم افزار باید به صورت دستی فایل های هسته آدامز به مسیر نصب نرافزار هدایت شوند.

مدل سازی در simscape نیز انجام شده است باید فایل سیمولینک به همراه ماتریس داده ها به درون متلب بارگزاری شوند.

در مدل سازی سیماسکیپ از مرجع [4] Mirko Brentari استفاده شده است.



شکل ۳-۲ مدل سیم اسکپ



شکل ۴-۲ خروجی مدل خطی با دو ورودی پله و شرط اولیه ۱ درجه برای اپسیلون

### ۳ خطی سازی معادلات لاگرانژ و بررسی پایداری

$$\begin{bmatrix} \dot{x}_1 \\ \ddot{\varepsilon}(t) = \dot{x}_2 \\ \dot{x}_3 \\ \ddot{p}(t) = \dot{x}_4 \\ \dot{x}_5 \\ \ddot{\lambda}(t) = \dot{x}_6 \end{bmatrix} = \begin{bmatrix} x_2 \\ \frac{(V_f(t) + V_b(t)) K_t L_a \cos(p) - ((M_f + M_b) g L_a - M_w g L_w + M_h g L_a) \sin(\varepsilon)}{(M_f L_a^2 + M_b L_a^2 + M_w L_w^2 - M_h L_a^2)} \\ x_4 \\ \frac{(V_f(t) - V_b(t)) K_t L_h - (M_f - M_b) g L_h \cos(p)}{(M_f L_h^2 + M_b L_h^2)} \\ x_6 \\ \frac{(V_f(t) + V_b(t)) K_t L_a (\cos(\varepsilon) \sin(p) + \cos(p) \sin(\varepsilon))}{(M_w L_w^2 - M_h L_a^2 + M_f L_a^2 + M_b L_a^2)} \end{bmatrix}$$

$$\mathbf{h} = \begin{bmatrix} h_1(x(t), u(t), t) \\ h_2(x(t), u(t), t) \\ h_3(x(t), u(t), t) \\ h_4(x(t), u(t), t) \\ h_5(x(t), u(t), t) \\ h_6(x(t), u(t), t) \end{bmatrix}, \mathbf{A}(t) = \frac{\partial \mathbf{h}}{\partial \mathbf{x}_{at} t=0} = \begin{bmatrix} 0 & 1 & 0 & 0 & 0 & 0 \\ 0 & 0 & 0 & 0 & 0 & 0 \\ 0 & 0 & 0 & 1 & 0 & 0 \\ 0 & 0 & 0 & 0 & 0 & 0 \\ 0 & 0 & 0 & 0 & 0 & 1 \\ 0 & \frac{-((M_f + M_b) g L_a - M_w g L_w + M_h g L_a)}{(M_f L_a^2 + M_b L_a^2 + M_w L_w^2 - M_h L_a^2)} & 0 & 0 & 0 & 0 \end{bmatrix}$$

$$\mathbf{B}(t) = \frac{\partial \mathbf{h}}{\partial \mathbf{v}_{at} t=0} = \begin{bmatrix} \frac{0}{(M_f L_a^2 + M_b L_a^2 + M_w L_w^2 - M_h L_a^2)} & \frac{0}{(M_f L_a^2 + M_b L_a^2 + M_w L_w^2 - M_h L_a^2)} \\ \frac{0}{(M_f L_h^2 + M_b L_h^2)} & \frac{0}{(M_f L_h^2 + M_b L_h^2)} \\ 0 & 0 \end{bmatrix}$$

$$\begin{cases} (M_f L_a^2 + M_b L_a^2 + M_w L_w^2 - M_h L_a^2) \ddot{\varepsilon}(t) + (M_f + M_b) g L_a - M_w g L_w + M_h g L_a = (V_f(t) + V_b(t)) K_t L_a \\ (M_f L_h^2 + M_b L_h^2) \ddot{p}(t) + (M_f L_a L_h - M_b L_a L_h) \ddot{\varepsilon}(t) + (M_f - M_b) g L_h = (V_f(t) - V_b(t)) K_t L_h \\ (M_w L_w^2 - M_h L_a^2 + M_f L_a^2 + M_b L_a^2) \ddot{\lambda}(t) = -(V_f(t) + V_b(t)) K_t L_a p(t) \end{cases}$$

اگر فرض کنیم ولتاژ لازم برای معلق ماندن در فضا  $u_{b0}$ ،  $u_{f0}$  باشد و  $u_{f0} = u_{b0}$  (در صورتی ولتاژ ها با هم برابر نیستند که حرکت نیاز باشد).  $u_{f0} = u_{b0} = \frac{1}{2K_t L_a} (M_f L_a + M_b L_a - M_w L_w) g$  باشد.

معادله به شکل زیر در می آید.

$$\begin{cases} (M_f L_a^2 + M_b L_a^2 + M_w L_w^2 - M_h L_a^2) \ddot{\varepsilon}(t) = (u_f(t) + u_b(t)) K_t L_a \\ (M_f L_h^2 + M_b L_h^2) \ddot{p}(t) + (M_f L_a L_h - M_b L_a L_h) \ddot{\varepsilon}(t) = (u_f(t) - u_b(t)) K_t L_h \\ (M_w L_w^2 - M_h L_a^2 + M_f L_a^2 + M_b L_a^2) \ddot{\lambda}(t) = -(u_{f0} + u_{b0}) K_t L_a \rho(t) \end{cases}$$

## ۴ پایداری سیستم

### ۴/۱ پایداری سیستم را از لحاظ BIBO

$$TransferMatrix = C(sI - A)B + D$$

سیستم هنگامی پایدار BIBO است که  $\int_0^{\infty} |g(t)| dt < M < \infty$  باشد.

```
sys=ss(A,B,C,D);
syms s t
Transfer_Matrix=(C*inv(s*eye(6)-A)*B);
Transfer_Matrix=ilaplace(C*inv(s*eye(6)-A)*B);
BIBOstability(t)=int(abs(Transfer_Matrix),t);
```

پس از اجرای دستورات مطلب :

ماتریس تبدیل خطی سازی شده سیستم در زمان‌های بزرگ محدود نیست پس سیستم پایدار BIBO نیست .

$$TransferMatrix = \begin{bmatrix} \frac{0.07729}{s^2} & \frac{0.07729}{3s^2} \\ \frac{0.46803}{s^2} & \frac{-0.46803}{s^2} \\ \frac{0.04618}{s^4} & \frac{-0.04618}{10s^4} \end{bmatrix} \xrightarrow{\mathcal{L}^{-1}} \begin{bmatrix} 0.07729t^2\text{sign}(t) & 0.07729t^2\text{sign}(t) \\ 0.46803t^2\text{sign}(t) & -0.46803t^2\text{sign}(t) \\ 0.04618t^4\text{sign}(t) & -0.04618t^4\text{sign}(t) \end{bmatrix}$$

### ۴/۲ پایداری سیستم را از لحاظ لیاپانوف

eig(A)

$$eigenvalues A = \begin{bmatrix} 0 \\ 0 \\ 0 \\ 0 \\ 0 \\ 0 \end{bmatrix}$$

پایداری لیاپانوف برای سیستم‌های مجانبی پایدار می‌تواند وجود داشته باشد چون تمامی مقادیر ویژه ماتریس A صفر هستند پس پایدار مجانبی نبوده و به طبع سیستم پایدار لیاپانوف نیز نمی‌باشد.

### ۴/۳ پایداری سیستم را از لحاظ مارجینال

بر اساس تیوری ۵.۴ کتاب چن سیستم پایدار مارجینالی است اگر مقادیر ویژه ماتریس A قسمت حقیقی صفر (ریشه مکرر معادله مشخصه ماتریس نباشند) یا منفی داشته باشند.

eig(A)

[a,B]=jordan(A)

$$eigenvalues A = \begin{bmatrix} 0 \\ 0 \\ 0 \\ 0 \\ 0 \\ 0 \end{bmatrix} \xrightarrow{Jordan Form} \begin{bmatrix} 0 & 1 & \vdots & 0 & 0 & 0 & 0 \\ 0 & 0 & \vdots & 0 & 0 & 0 & 0 \\ \dots & \dots & \dots & \dots & \dots & \dots & \dots \\ 0 & 0 & \vdots & 0 & 1 & 0 & 0 \\ 0 & 0 & \vdots & 0 & 0 & 1 & 0 \\ 0 & 0 & \vdots & 0 & 0 & 0 & 1 \\ 0 & 0 & \vdots & 0 & 0 & 0 & 0 \end{bmatrix}$$

تمامی مقادیر ویژه ماتریس  $A$  صفر هستند ولی چون مرتبه تکرار از ۱ بیشتر دارند پایدار مارجینال نیستند.

#### ۴/۴ کنترل و رویت پذیری

$$\text{rank}([B \ AB \ \dots A^{n-1}B]) = 6$$

چون رنک برابر ۶ است سیستم کنترل پذیر است.

$$\text{rank} \left( \begin{bmatrix} C \\ CA \\ \vdots \\ CA^{n-1} \end{bmatrix} \right) = 6$$

چون رنک ماتریس رویت پذیری برابر ۶ است سیستم رویت پذیر است.

```
Controlibility=ctrb(A,B);
rank(Controlibility)
Observability=obsv(A,C);
rank(Observability)
```

چون کنترل/رویت پذیری در این قسمت بررسی شده است و مورد نیاز تمامی قسمت‌ای بعدی است در صورت لزوم به این بخش اشاره

می‌شود.



## ۵ طراحی کنترلکننده و رویتگر

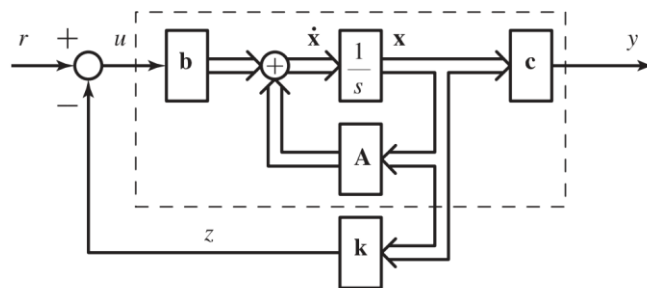
### ۵/۱ طراحی کنترل کننده فید بک

۵/۱/۱ مقدمه

هدف اساسی طراحی سیستم‌های کنترلی پایداری سیستم‌ها می‌باشد بنابراین با استفاده از ضریبی از متغیرهای سیستم و کم کردن آن میزان از ورودی می‌توان سیستم را منترل نمود. (این روش در عمل کمتر مورد استفاده قرار می‌گیرد).<sup>۱</sup>

کالمن نشان داد اگر تحقق سیستمی کنترل پذیر باشد هر معادله مشخصه‌ای قابل دسترسی است.<sup>۲</sup>

بررسی‌های این بخش براساس کارهای آقایان بار ريسانن در ۱۹۶۰ (Rissanen 1960) برای سیستم‌های تک ورودی و تک خروجی و ادامه کار ایشان توسط پوپوف در سال ۱۹۶۴ (Popov 1964) در ادامه کار آقای ريسانن برای گسترش کار ایشان به سیستم‌های چند ورودی و چند خروجی است.



شکل ۱-۵: نمای سیستم با فیدبک حالت (Chen 1999)

چینش و محل قرار گیری و روابط بین ماتریس‌ای سیستم کنترلی توسط شکل ۵-۱: نمای سیستم با فیدبک حالت (Chen 1999) نمایش داده شده است.

### ۵/۱/۲ فیدبک برای سیستم خطی سازی شده

با در نظر گرفتن فیدبک حالت  $u(t) = -Kx(t)$  و در در دسترس بودن متغیرهای حالت باید مقادیر ویژه ماتریس  $\hat{A} = A - CL$  در سمت چپ محور موهومی باشد و به مقادیر ویژه  $\hat{A}$  قطب‌های رویتگر می‌گویند.

با استفاده از دستور place می‌توان مقادیر ویژه ماتریس  $\hat{A}$  را در محل مد نظر جایابی نمود.

در صورت مسله دو نوع بهره خواسته شده است.

```
Poles_slow=[-4 -5 -6 -7 -8 -9];
Poles_Fast=[-12 -13 -14 -15 -16 -17];
K_Slow=place(A,B,Poles_slow);
K_Fast=place(A,B,Poles_Fast);
```

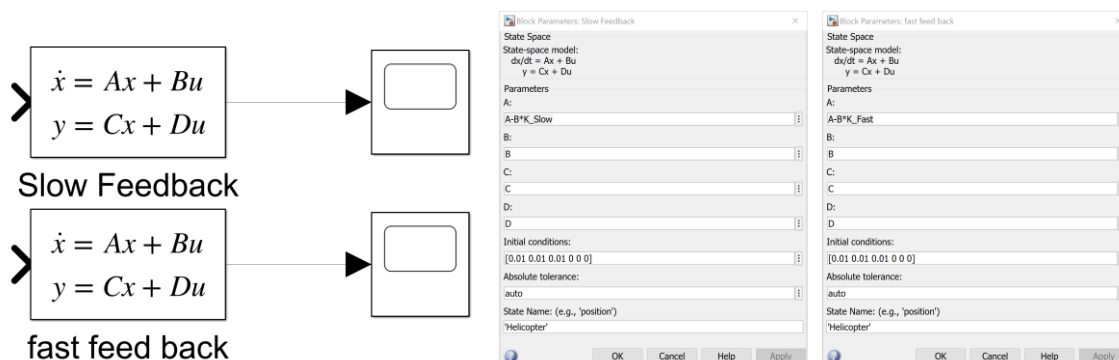
سپس می‌توان در سیمولیک مدل‌سازی را شروع کرد.

<sup>۱</sup> خاکی صدیق ، اصول کنترل مدرن ص ۲۲۱

<sup>۲</sup> کالمن ، ج برترام در سال ۱۹۵۹

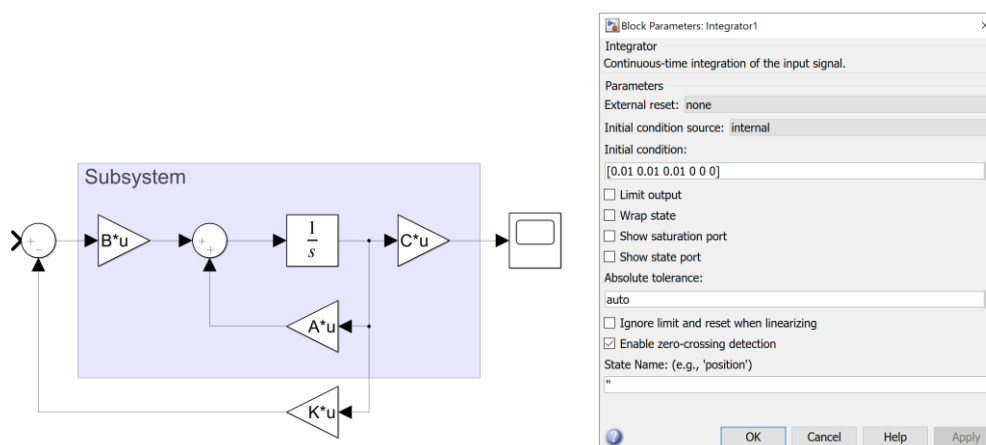
در سیمولینک از دو روش برای نشان دادن فیدبک می‌توان استفاده کرد که روش اول در ادامه مورد استفاده قرار گرفته است.

ا. با استفاده از بلوک فضای حالت و



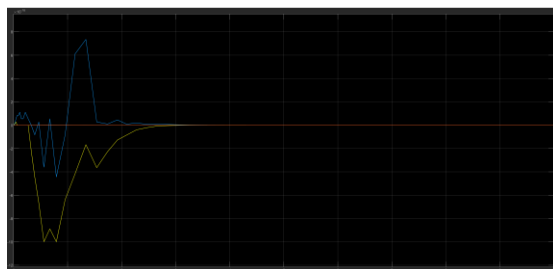
شکل ۲-۵: بلوک فضای حالت به همراه شرایط اولیه

ا. با استفاده از گین‌های متعدد



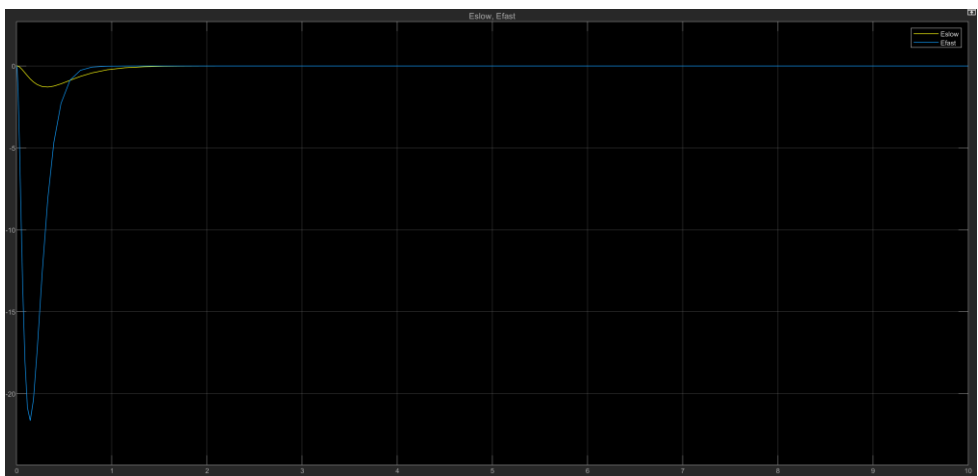
شکل ۳-۵: بلوک دیاگرام به همراه شرایط اولیه انتگرال گیر

میزان اختلاف دو شیوه نیز بسیار ناچیز می‌باشد. (از مرتبه  $10^{-16}$ )

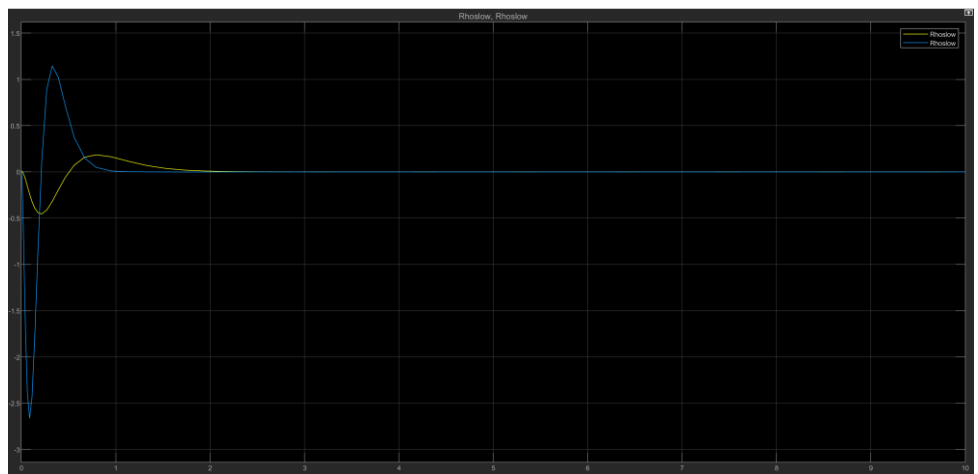


شکل ۴-۵: اختلاف دوشیوه نمایش فیدبک حالت

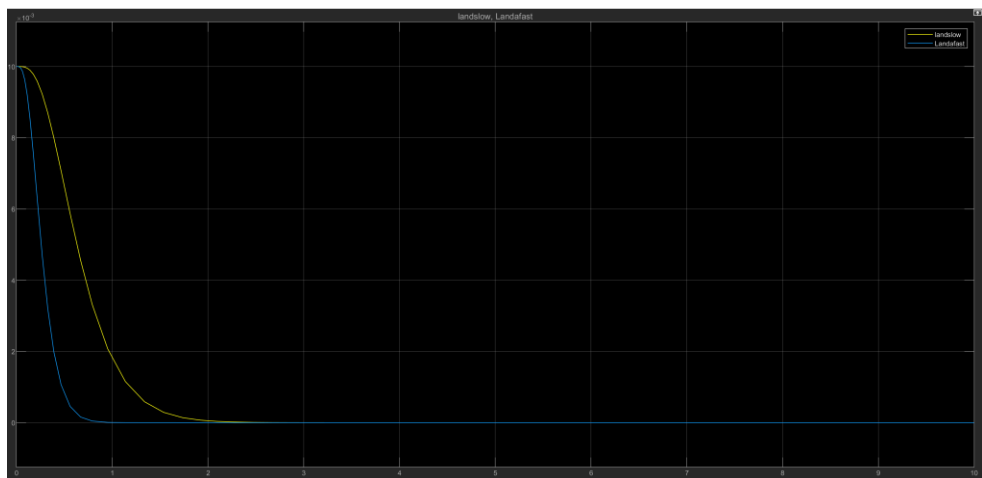
برای هر متغیر حالت جداگانه نمودارها را رسم کرده.



شکل ۵-۵: برای زاویه  $\varepsilon$  (آبی: تند، زرد: کند)



شکل ۵-۶: برای زاویه  $\rho$  (آبی: تند، زرد: کند)



شکل ۵-۷: برای زاویه  $\lambda$  (آبی: تند، زرد: کند)

متغیرها می‌بایست در حالت کند در کمتر از ۱ ثانیه به صفر برسند و در حالت تند باید در کمتر از ۳ ثانیه (آبی: تند، زرد: کند)

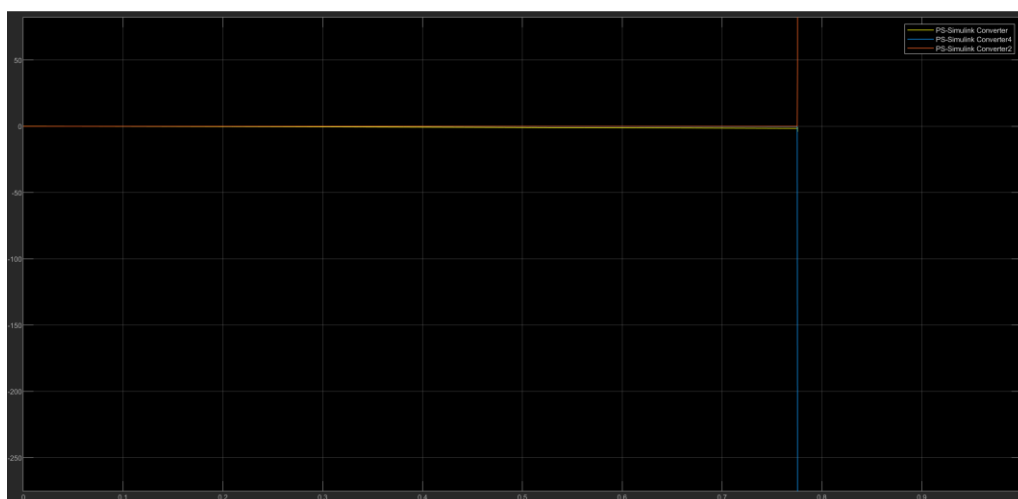
برای صفر کردن متغیرها می‌توان قطب‌های گین فیدبک را از محور موهومی به سمت منفی دور کرد ولی باعث پدید آمدن فراجاهش می‌شود و باید برحسب نیاز از هر کدام استفاده نمود.

نمودارها و عکس‌های استفاده شده با اجرای کد `code.mlx` و فایل سیمولینک `p5.mld` قابل رویت هستند.

### ۵/۱/۳ فیدبک برای سیستم غیر خطی

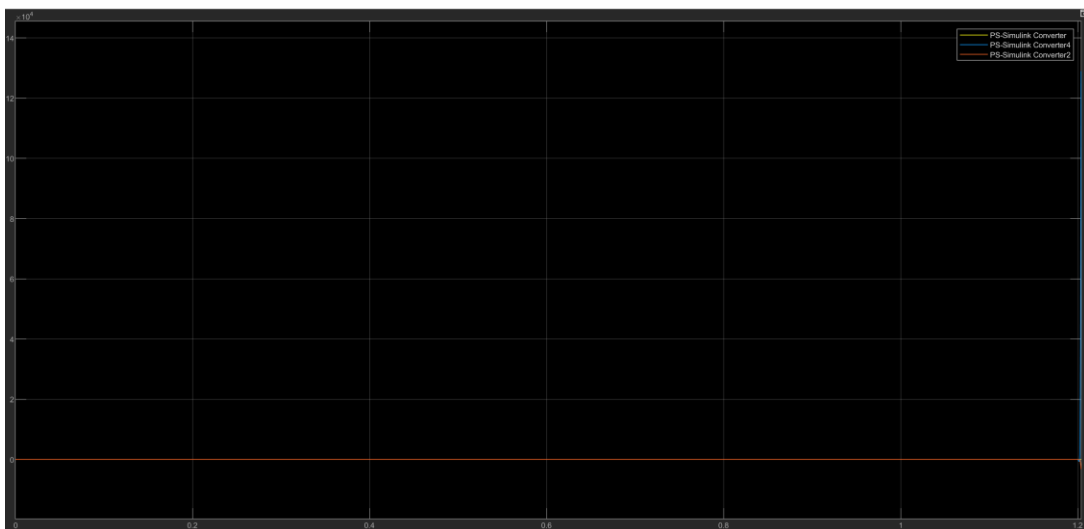
برای مدل سازی فیدبک از سیم اسکپ استفاده شده است ولی نتایج آدامز نیز بسیار مشابه بوده است و با اختلاف  $0.0001$  ثانیه حل‌ها واگرا شده اند.

در استفاده از فید بک حالت با قطب‌های تند سیستم سیستم توانایی کنترل انحراف از حالت پایدار  $\rho, \lambda$  و  $\varepsilon < 0$  را نداشته و در صورت انحراف  $\varepsilon > 0$  برای  $3^\circ$  ثانیه توانایی کنترل خروجی‌ها را دارد.



شکل ۵-۸: فید بک حالت برای سیستم غیرخطی با جابجایی قطب سریع

در استفاده از فید بک حالت با قطب‌های کند سیستم توانایی کنترل انحراف از حالت پایدار  $\rho, \lambda$  و  $\varepsilon < 0$  را نداشته و در صورت انحراف  $\varepsilon > 0$  برای  $3^\circ$  ثانیه توانایی کنترل خروجی‌ها را دارد.



شکل ۹-۵: فید بک حالت برای سیستم غیرخطی با جابجایی قطب کند

## ۵/۲ کنترل ردیاب انتگرال گیر

۵/۲/۱ مقدمه

در برخی موارد از سیستم‌های کنترلی انتظار پایداری می‌رود و در مواردی تعقیب ورودی با استفاده از خروجی سیستم مدار بسته.

در طراحی سیستم ردیاب می‌توان از (۱) پیش جبران ساز استاتیکی (۲) فیدبک حالت با کنترل انتگرال استفاده کرد.

در این قسمت به شرح اجمالی فیدبک حالت با کنترل انتگرال پرداخته می‌شود.

از خاصیت‌های مفید فیدبک حالت با کنترل انتگرال ردیابی و حذف اغتشاشات ثابت در سیستم می‌باشد.

برای سیستم کنترل پذیر  $\dot{x}(t) = Ax(t) + Bu(t)$  با اضافه کردن حالات انتگرال گیر  $q(t)$  به متغیرهای حالت سیستم به صورت  $y(t) = Cx(t)$  و  $\dot{q}(t) = r - y(t) = r - Cx(t)$  بنا بر این سیستم جدید به صورت

$$\begin{bmatrix} \dot{x}(t) \\ \dot{q}(t) \end{bmatrix} = \begin{bmatrix} A & 0 \\ -C & 0 \end{bmatrix} \begin{bmatrix} x(t) \\ q(t) \end{bmatrix} + \begin{bmatrix} B \\ 0 \end{bmatrix} u(t) + \begin{bmatrix} 0 \\ I \end{bmatrix} r$$

$$y(t) = [C \quad 0] \begin{bmatrix} x(t) \\ q(t) \end{bmatrix}$$

در می‌آید.

حال می‌بایست برای سیستم جدید کنترل پذیری زوج  $\left( \begin{bmatrix} A & 0 \\ -C & 0 \end{bmatrix}, \begin{bmatrix} B \\ 0 \end{bmatrix} \right)$  بررسی شود.

$\mathcal{C}(A, B)$  ماتریس کنترل پذیری  $(A, B)$  است.

$$\Phi_C = \mathcal{C}(A, B)$$

$$\rho \left( \begin{bmatrix} A & 0 \\ -C & 0 \end{bmatrix}, \begin{bmatrix} B \\ 0 \end{bmatrix} \right) = \begin{bmatrix} B & \vdots & A\Phi_C \\ \cdots & \cdots & \cdots \\ 0 & \vdots & -C\Phi_C \end{bmatrix} = \begin{bmatrix} B & \vdots & A \\ \cdots & \cdots & \cdots \\ 0 & \vdots & -C \end{bmatrix} \begin{bmatrix} I & \vdots & 0 \\ \cdots & \cdots & \cdots \\ 0 & \vdots & \Phi_C \end{bmatrix}$$

برای کنترل پذیر بودن  $\rho \left( \begin{bmatrix} A & 0 \\ -C & 0 \end{bmatrix}, \begin{bmatrix} B \\ 0 \end{bmatrix} \right)$  باید  $\begin{bmatrix} B & \vdots & A \\ \cdots & \cdots & \cdots \\ 0 & \vdots & -C \end{bmatrix}$  کنترل پذیر باشد.

حال می‌توان از دستور place برای جابجایی قطب‌ها در متلب استفاده نمود و به شکل زیر قطب‌ها را برای فیدبک و ورودی تقسیم

کرد.

$$u(t) = [-k_1 \quad k_2] \begin{bmatrix} x(t) \\ q(t) \end{bmatrix}$$

۵/۲/۲ طراحی سیستم با ردیاب انتگرال گیر برای ورودی پله  
در ابتدا باید از رنک کامل بودن ماتریس  $\begin{bmatrix} B & A \\ 0 & -C \end{bmatrix}$  اطمینان حاصل کرد.

حال می توان برای سیستم تعمیم یافته ضرایب را پیدا کرد.

$$\begin{bmatrix} \dot{x}(t) \\ \dot{q}(t) \end{bmatrix} = \begin{bmatrix} A & 0 \\ -C & 0 \end{bmatrix} \begin{bmatrix} x(t) \\ q(t) \end{bmatrix} + \begin{bmatrix} B \\ 0 \end{bmatrix} u(t) + \begin{bmatrix} 0 \\ I \end{bmatrix} r$$

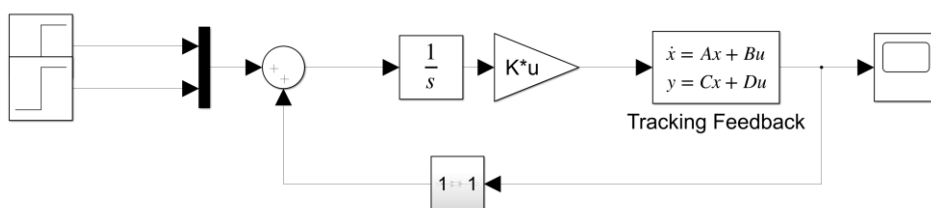
$$u(t) = \begin{bmatrix} -k_1 & k_2 \end{bmatrix} \begin{bmatrix} x(t) \\ q(t) \end{bmatrix}$$

کافیست از دستور place برای ۶ مقدار ویژه ماتریس  $A$  و ۲ مقدار ویژه جدید برای ۲ ورودی سیستم استفاده کرد.

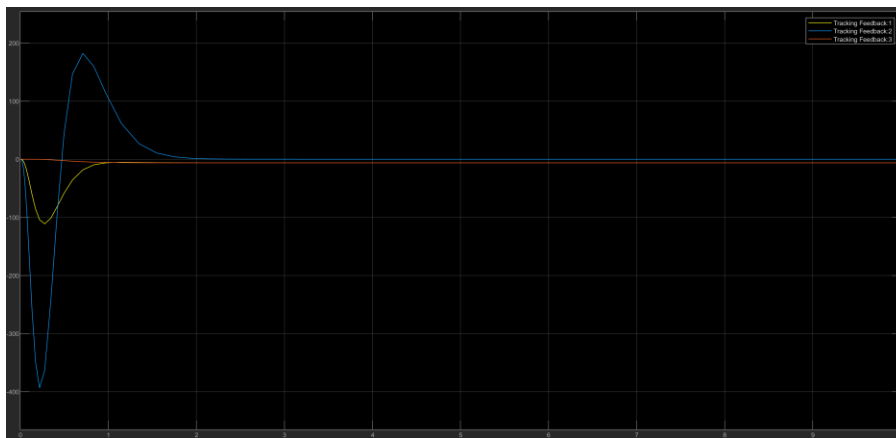
```
%% State feed back tracking
[n,n]=size(A)
AA=[A zeros(6,2);-1 0 0 0 0 0 0;0 0 -1 0 0 0 0]
BB=[B ; zeros(2,2)]
rank(ctrb(AA,BB))
CC=[C zeros(3,2)]
rank([B A;zeros(3,2) -C])
P_tracking=[-6.5 -5.5 -7 -16 -15 -9 -9.5 -9]
K_tracking=place(AA,BB,P_tracking)
K_tracking_1=K_tracking(:,1:6);K_tracking_2=K_tracking(:,7:8);
```

مدل دینامیکی سیستم را به صورت زیر می توان مدل کرد.

توجه : در بخش مقدمه منفی ضریب  $-k_1$  با مثبت شدن ورودی ساده شده اند.



شکل ۵-۱۰: مدل سیستم با انتگرال گیر پله



شکل ۱۱-۵: خروجی سیستم

### ۵/۲/۳ قسمت ۸-۱ مقاومت در برابر تغییر پارامترهای سیستم

با افزایش وزن  $M_w$  به میزان ۱۰ درصد اورشوت متغیر حالت اول ۷۰۰ درصد افزایش پیدا کرده ولی میزان به صفر رسیدن پاسخ سیستم همان ۲ ثانیه می باشد.

با کاهش وزن  $M_w$  به میزان ۱۰ درصد اورشوت متغیرهای حالت تغییر چندانی پیدا نمی کنند.

با افزایش وزن  $M_f$  به میزان ۱۰ درصد اورشوت متغیر حالت اول ۵۰ درصد افزایش پیدار کرده است.

با کاهش وزن  $M_f$  به میزان ۱۰ درصد اورشوت متغیر حالت اول ۱۴۰۰ درصد افزایش پیدا می کند ولی میزان به صفر رسیدن پاسخ سیستم همان ۲ ثانیه می باشد.

با افزایش وزن  $M_b$  به میزان ۱۰ درصد اورشوت متغیر حالت اول ۴۰ درصد افزایش پیدار کرده است.

با کاهش وزن  $M_b$  به میزان ۱۰ درصد اورشوت متغیر حالت اول ۱۴۰۰ درصد افزایش پیدا می کند ولی میزان به صفر رسیدن پاسخ سیستم همان ۲ ثانیه می باشد.

با افزایش طول  $L_a$  به میزان ۱۰ درصد اورشوت متغیر حالت اول ۳۰ درصد افزایش پیدار کرده است.

با کاهش طول  $L_a$  به میزان ۱۰ درصد اورشوت متغیر حالت اول ۸۰۰۰ درصد افزایش پیدا می کند ولی میزان به صفر رسیدن پاسخ سیستم همان ۲ ثانیه می باشد.

با تغییر ۱۰ درصدی در  $L_h, K_f$  تغییر چندانی در نتایج حاصل نشد.

با افزایش طول  $L_w$  به میزان ۱۰ درصد اورشوت متغیر حالت اول ۶۰۰۰ درصد افزایش پیدار کرده است.

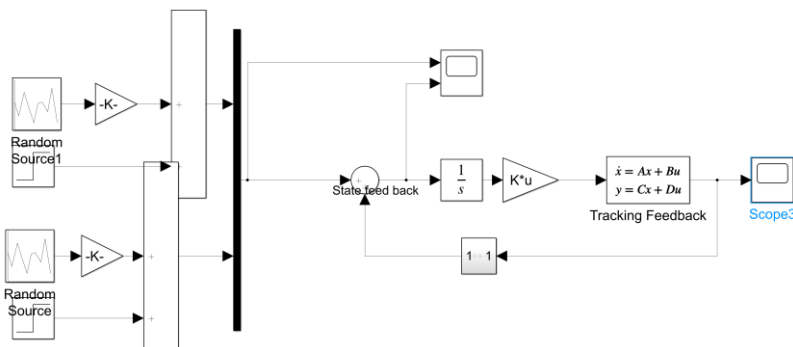
با کاهش طول  $L_w$  به میزان ۱۰ درصد اورشوت متغیرهای حالت تغییر چندانی نکردند.



با فرض ورودی اغتشاش پله نیرو در محل وزن متعادل کننده  $M_w$  در جهت عکس محور ارتفاع می توان با ضرب ثابت  $\frac{L_a^2}{L_w^2}$  در اغتشاش از ماتریس  $B$  استفاده کرد. مدل به شکل زیر در می آید.

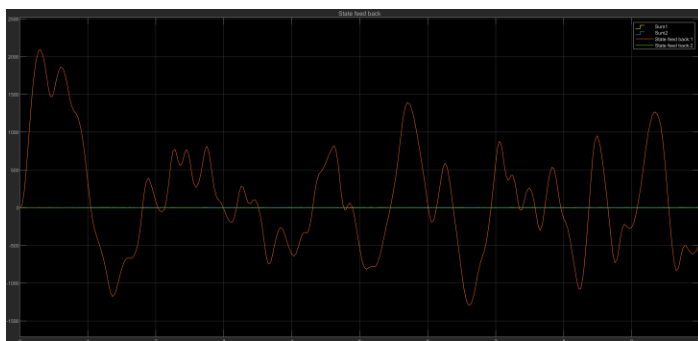
$$\dot{x}(t) = Ax(t) + Bu(t) + B \frac{L_a^2}{L_w^2} Disturbance(t) = Ax(t) + B \left( u(t) + \frac{L_a^2}{L_w^2} Disturbance\_step(t) \right)$$

$$\frac{L_a^2}{L_w^2} = 2.0079492983250339520144861928474$$

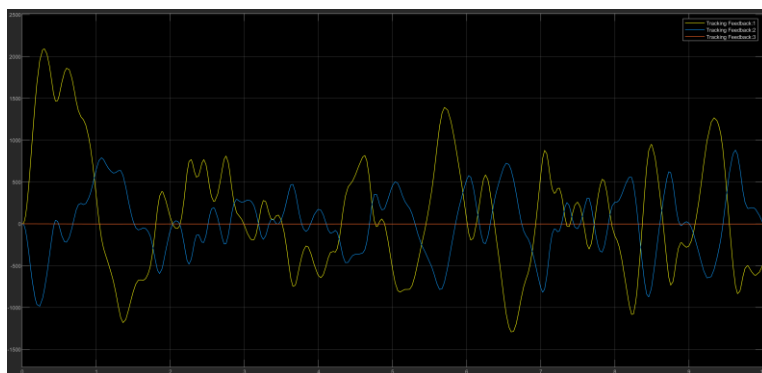


شکل ۱۲-۵: مدل سیمولینک سیستم خطی سازی شده به همراه اغتشاش

از کنترل ردیاب انتگرال گیر انتظار می رود تا بتواند ورودی پله را برای سیستم قابل کنترل کند اما اگر قطب های سیستم دور از مبدا انتخاب شوند آنگاه توانایی پیش بینی سیستم تبدیل به بیش پیش بینی و باعث نوسانی ماندن خروجی می شود.



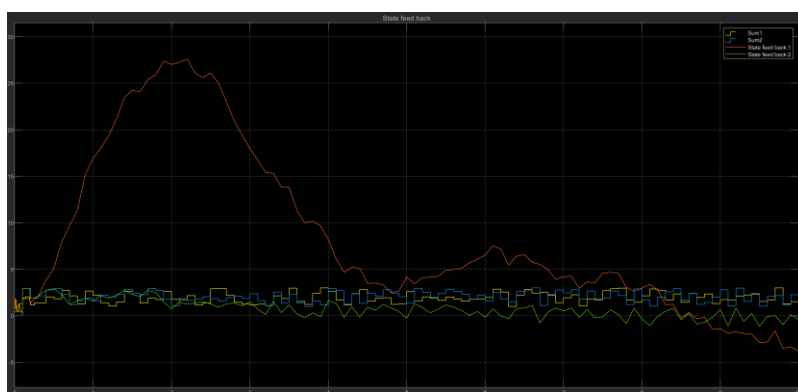
شکل ۱۳-۵: نمودار ورودی های به سیستم  $[9 - 9.5 - 9 - 15 - 16 - 17 - 17.5 - 18.5 - 19]$



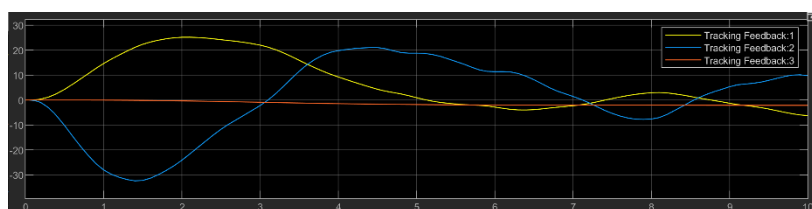
شکل ۱۴-۵: خروجی‌های سیستم با مقادیر ویژه  $[9 - 9.5 - 15 - 16 - 7 - 5.5 - 6.5]$

همانطور که در شکل ۵-۱۳ مشاهده می‌شود نمودار با رنگ قرمز حدود ۲۰۰۰ برابر ورودی دیگر است و علت آن دور بودن مقادیر ویژه

ماتریس فیدبک می‌باشد و با اصلاح مقادیر ویژه به صورت  $\frac{[-9.5 - 9.5 - 15 - 16 - 7 - 5.5 - 6.5]}{6}$



شکل ۱۵-۵: نمودار ورودی‌های به سیستم  $\frac{[-9.5 - 9.5 - 15 - 16 - 7 - 5.5 - 6.5]}{6}$



شکل ۱۶-۵: خروجی‌های سیستم با مقادیر ویژه  $\frac{[-9.5 - 9.5 - 15 - 16 - 7 - 5.5 - 6.5]}{6}$

و ویژگی اساسی کنترل انتگرال گیر که مقاومت در برابر اغتشاش است مشاهده می‌شود.

## ۵/۳ طراحی رویتگر برای کنترل ردیاب انتگرال‌گیر

۵/۳/۱ مقدمه

در استفاده از روش فیدبک حالت نیاز است تمامی متغیرهای حالت سیستم در دسترس باشند و گاهی خروجی سیستم شامل تمامی متغیرها نمی‌شود بنابراین لینبرگر در سال ۱۹۶۳ برای اولین بار نظریه‌ی سیستم‌های خطی شده را منتشر کرد. وی نشان داد برای هر سیستم خطی رویت پذیر می‌توان رویت‌گری طراحی نمود که خطای تخمین آن با هر سرعت مورد نظری صفر گردد.

## ۵/۳/۲ ساختار و خواص رویت‌گرها

اگر سیستمی به صورت  $\dot{x}(t) = Ax(t) + Bu(t)$  و  $y(t) = Cx(t)$  تعریف گردد سیستم کنترل کننده فید بک حالت  $u(t) = -kx(t)$  با فرض در دسترس بودن  $x(t)$  برای اندازه‌گیری طراحی شده است.

شرط لازم و کافی برای بهره رویتگر  $L$  برای جایابی قطب‌های رویتگر، رویت پذیری سیستم است.

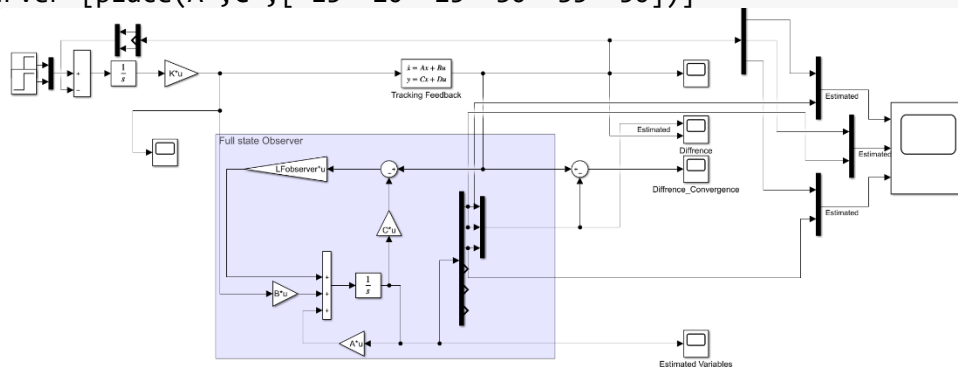
$$\det[\lambda I - (A - LC)] = \det[\lambda I - (A^T - C^T L^T)]$$

می‌توان با استفاده از دستور **place** قطب‌های رویت گر را در محل دلخواه جایابی کرد ولی باید توجه داشت زوج  $(A^T, C^T)$  کنترل پذیر باشد.

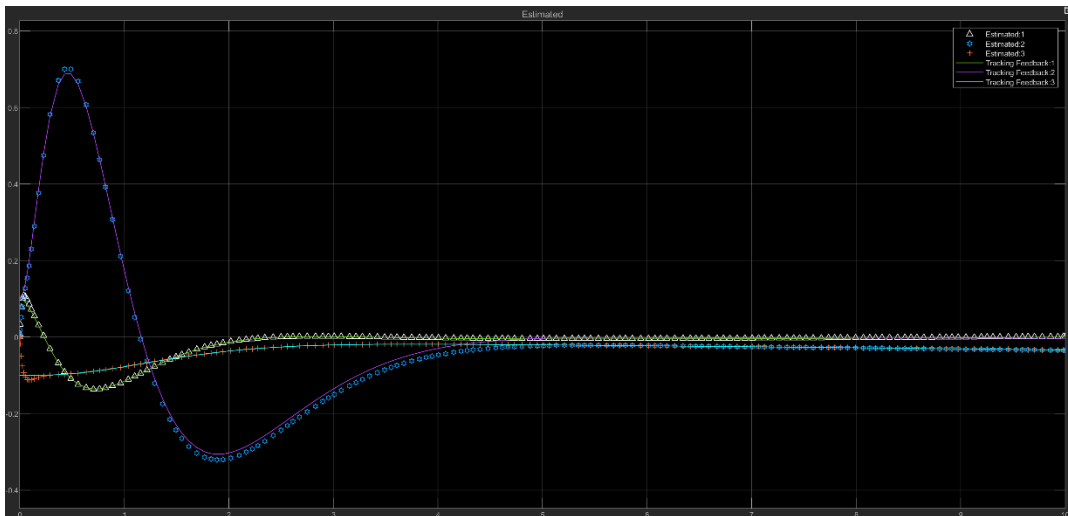
## ۵/۳/۳ طراحی رویتگر مرتبه کامل برای کنترل ردیاب انتگرال‌گیر

با استفاده از دستور **place** گین رویت گر مشخص می‌شود.

```
Lfobserver=[place(A',C',[-15 -20 -25 -30 -35 -50]))']
```

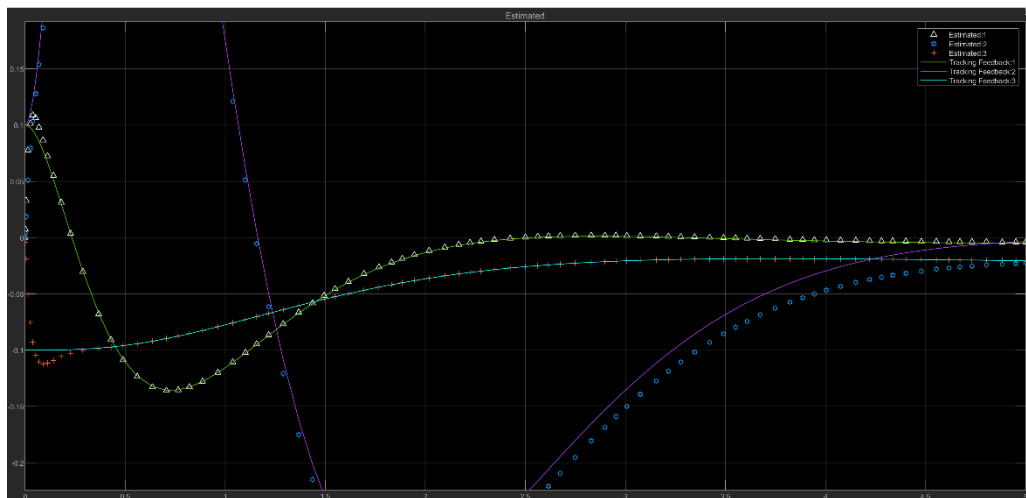


شکل ۵-۱۷: مدل سیستم در سیمولینک

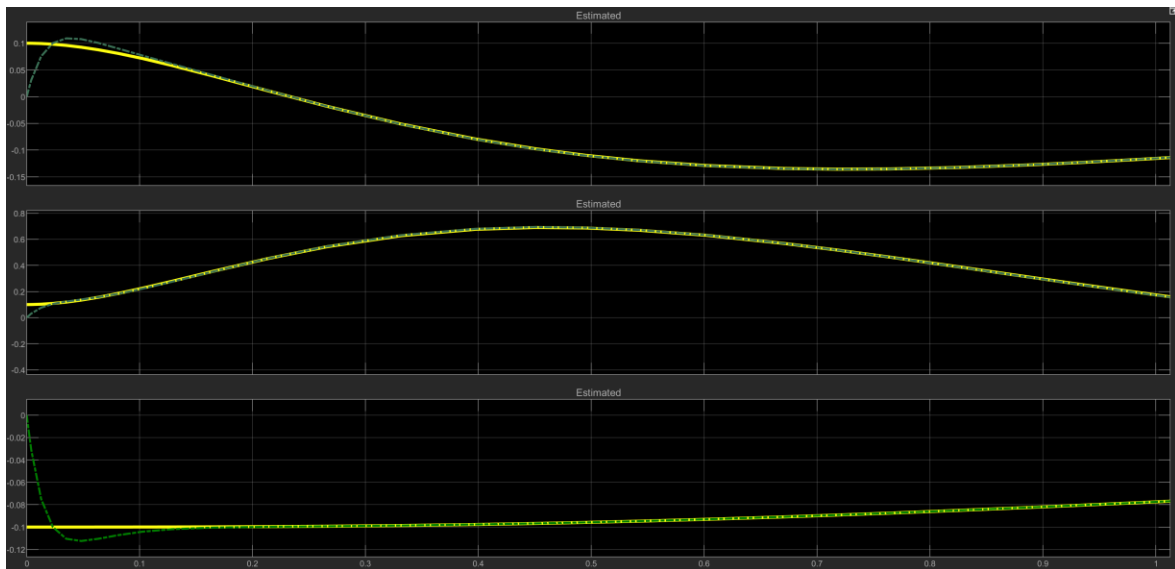


شکل ۱۸-۵: تخمین سه خروجی سیستم، تخمین‌ها به صورت منقطع در بازه ۰ تا ۱۰ با فرض شرط اولیه ۰.۱ برای همگی زاویه‌ها

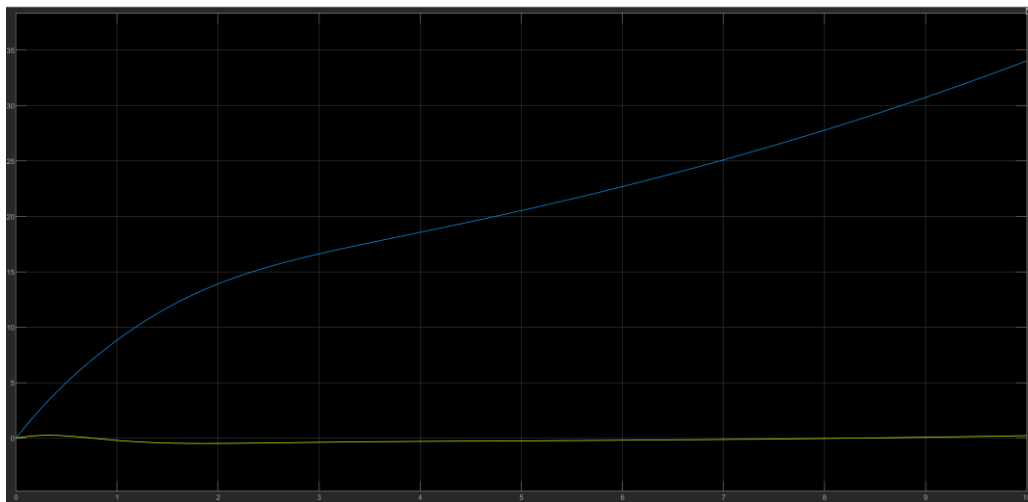
همانطور که انتظار می‌رود خط‌های منقطع که از مبدا شروع می‌شوند مقادیر تخمین زده شده می‌باشند و پس از گذشت کمتر از یک ثانیه به مقدار خروجی نزدیک می‌شود.



شکل ۱۹-۵: نمای بزرگ‌نمایی شده از مبدا نمودار تخمین زده شده مرتبه تمام در بازه زمانی ۰ تا ۲ ثانیه



شکل ۵-۲۰: نمودارهای متغیرهای حالت به تفکیک و به ترتیب  $[\varepsilon \quad \rho \quad \lambda]^T$



شکل ۵-۲۱: نمودار ورودی‌ها

## ۵/۴ طراحی رویتر کاهش یافته برای کنترل ردیاب انتگرال گیر

۵/۴/۱ مقدمه

در حالتی که متغیرهای سیستم غیر قابل اندازه گیری یا هزینه بر باشند می توان تعدادی از متغیرهای حالت سیستم را تخمین زد و تخمین همه متغیرهای سیستم تنها بار محاسباتی را زیاد می کند بنابراین با تغییراتی در شیوه محاسبه و محل گین ها می توان تنها موارد مد نظر را تخمین زد.

۵/۴/۲ روش

در این بخش از روش رویترهای کاهش مرتبه یافته لیونبرگر استفاده شده است.

$$\begin{aligned} \dot{\mathbf{x}}_{n \times 1}(t) &= \mathbf{A}_{n \times n} \mathbf{x}_{n \times 1}(t) + \mathbf{B}_{n \times m} \mathbf{u}_{m \times n}(t) \\ \mathbf{y}_{l \times 1}(t) &= \mathbf{C}_{l \times n} \mathbf{x}_{n \times 1}(t) \end{aligned}$$

سیستم دینامیک را در نظر گرفته.

رویتر  $n-l$  را با حالت  $\mathbf{z}(t)$  را فرض کرده و ارتباط آن را با متغیرهای حالت سیستم بالا به صورت زیر تعریف شده.

$$\mathbf{z}_{(l-n) \times 1}(t) = \mathbf{L}_{(l-n) \times n} \mathbf{x}_{n \times 1}(t) \xrightarrow{\text{بنابراین}}$$

$$\dot{\mathbf{z}}_{(l-n) \times 1}(t) = \mathbf{D}_{(n-l) \times (n-l)} \mathbf{z}_{(l-n) \times 1}(t) + \mathbf{T}_{(n-l) \times l} \mathbf{y}_{l \times 1}(t) + \mathbf{R}_{(n-l) \times m} \mathbf{u}_{m \times n}(t) \xrightarrow{R=LB}$$

$$\dot{\mathbf{z}}_{(l-n) \times 1}(t) = \mathbf{D}_{(n-l) \times (n-l)} \mathbf{z}_{(l-n) \times 1}(t) + \mathbf{T}_{(n-l) \times l} \mathbf{y}_{l \times 1}(t) + \mathbf{L}_{(l-n) \times n} \mathbf{B}_{n \times m} \mathbf{u}_{m \times n}(t)$$

ابتدا با فرض وجود ماتریس  $\mathbf{L}_{(l-n) \times n}$  و مقادیری دلخواه برای  $\mathbf{T}_{(n-l) \times l}$  و  $\mathbf{D}_{(n-l) \times (n-l)}$  (که با هم کنترل پذیر باشند) انتخاب کرده سپس معادله لیاپانوف قابل حل می شود.

$$\mathbf{LA} - \mathbf{DL} = \mathbf{TC}$$

ماتریس  $\mathbf{L}$  حتما باید رتبه کامل باشد.

باید توجه کرد که مقادیر ویژه ماتریس  $\mathbf{D}_{(n-l) \times (n-l)}$  با ماتریس  $\mathbf{A}_{n \times n}$  یکی نباشد در این صورت جوابی یکتا برای معادله لیاپانوف بالا وجود دارد. آنگاه

$$\begin{bmatrix} \mathbf{y}_{l \times 1}(t) \\ \mathbf{z}_{(l-n) \times 1}(t) \end{bmatrix} = \begin{bmatrix} \mathbf{C}_{l \times n} \\ \mathbf{L}_{(l-n) \times n} \end{bmatrix}^{-1} \begin{bmatrix} \mathbf{x}_{n \times 1} \\ \mathbf{z}_{(l-n) \times 1} \end{bmatrix}$$

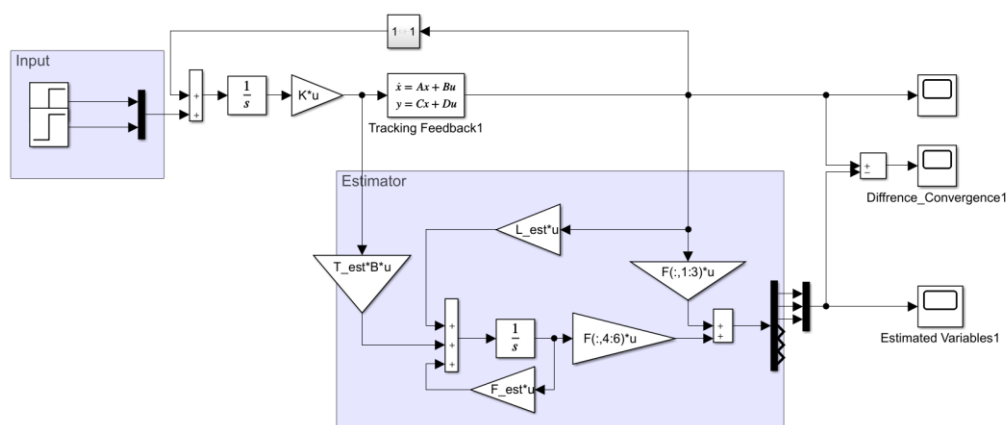
و باید مطمئن شده که  $\begin{bmatrix} \mathbf{C}_{l \times n} \\ \mathbf{L}_{(l-n) \times n} \end{bmatrix}^{-1}$  ناتکین باشد تا وارآن آن وجود داشته باشد و در صورت فول رنک نبود باید دوباره معادله لیاپانوف را با فرض های جدید حل کرد.

$$\begin{bmatrix} \mathbf{C}_{l \times n} \\ \mathbf{L}_{(l-n) \times n} \end{bmatrix}^{-1} = [\mathbf{F}_1 \quad \mathbf{F}_2]$$

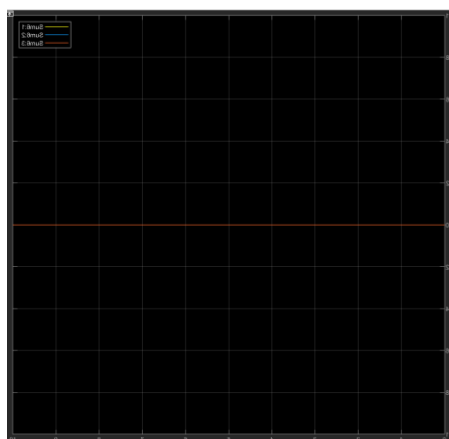
```
F_est=diag([-0.5 -1 -1.5])
L_est=[6 20 3;4 5 6;7 8 9];
rank(ctrb(F_est,L_est))
T_est=lyap(-F_est,A,L_est*C)
rank(T_est)
F=inv([C;T_est])
```

تمامی گین‌ها به دست می‌آیند.

با اعمال رویت گر کاهش یافته بر سیستم یک کنترل ردیاب حالت به روش انتگرالگیر

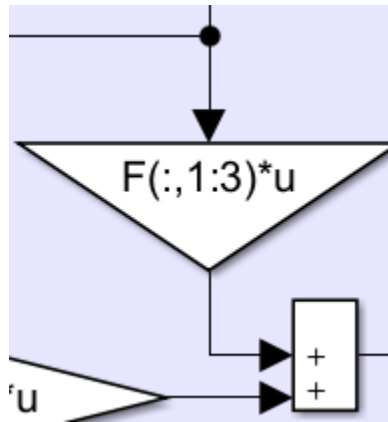


شکل ۵-۲۲: سیستم با رویتگر کاهش یافته

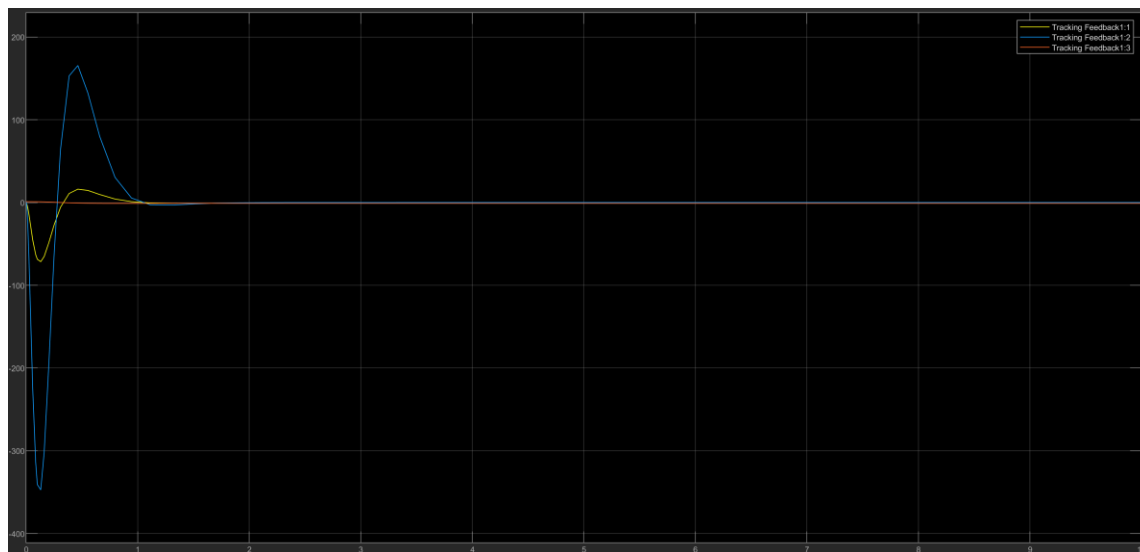


شکل ۵-۲۳: خطای تخمین

خروجی سیستم و تخمین زننده کاهش یافته دقیقاً یکی است به این علت که در خروجی سیستم تمامی حالات تخمین زده شده وجود داشته اند و به عبارت دیگر با حذف ارتباط  $T_{(n-l) \times l} y_{l \times 1}(t)$  خروجی برای زوایا کاملاً صفر می شود و تخمین زننده مقدار زوایا را دقیقاً برای خودشان استفاده می کند.



شکل ۲۴-۵ جمله  $T_{(n-l) \times l} y_{l \times 1}(t)$



شکل ۲۵-۵: خروجی تخمین زننده کاهش یافته



## ۵/۵ فیدبک حالت با رویتگر کاهش مرتبه یافته

### ۵/۵/۱ مقدمه و روش کار

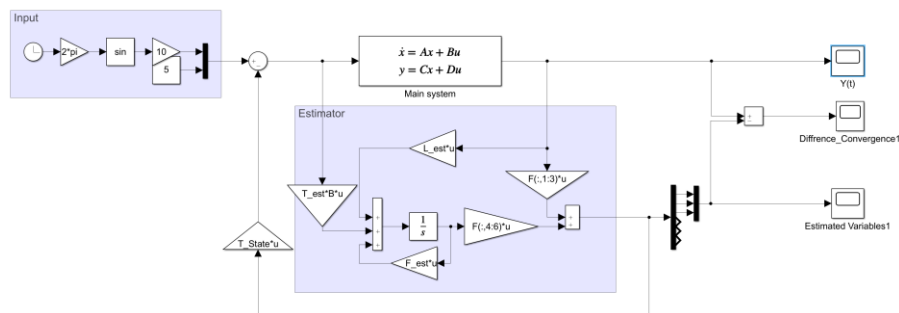
اصل جدایی پذیری در سیستم‌های خطی مستقل از زمان به ما اجازه می‌دهد تا رویتگر و فیدبک حالت را جداگانه طراحی کرده و سپس به هم متصل کنیم.

$$\begin{bmatrix} \dot{x}(t) \\ \dot{e}(t) \end{bmatrix} = \begin{bmatrix} A - BK & BK \\ 0 & A - LC \end{bmatrix} \begin{bmatrix} x(t) \\ e(t) \end{bmatrix} + \begin{bmatrix} B \\ 0 \end{bmatrix} r$$

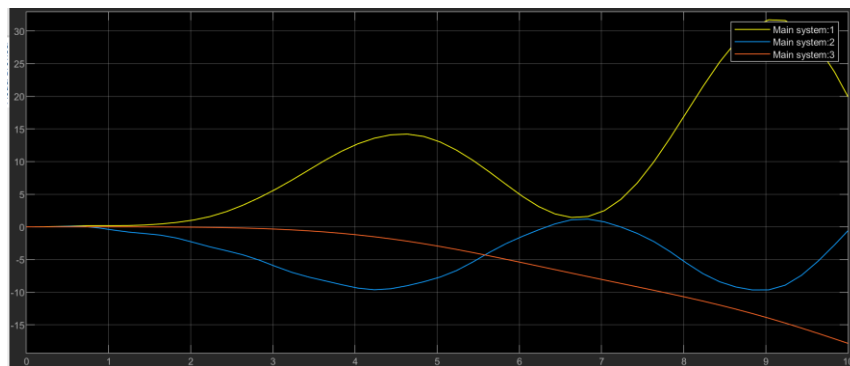
$$y(t) = [C \quad 0] \begin{bmatrix} x(t) \\ e(t) \end{bmatrix}$$

بنابر اصل جدایی پذیری سیستم‌های LTI از رویتگر کاهش مرتبه یافته و فیدبک حالات در بخش‌های بالاتر برای ایجاد مدل این زیر فصل استفاده شده است.

### ۵/۵/۲ مدل سازی در سیمولینک



شکل ۲۶-۵: فیدبک-تخمین زننده کاهش یافته



شکل ۲۷-۵: خروجی سیستم

در این قسمت مشابه رویتگر کاهش مرتبه یافته به علت وجود متغیرهای حالت خاسته شده در خروجی سیستم رویتگر دقیقاً همان‌ها را با ضریب یک به عنوان متغیر حالت معرفی می‌کند و خطای تخمین برای این بخش صفر می‌باشد.

## ۶ ارائه نتایج

بعضی از متغیرهای حالت اثر غیر خطی بیشتری دارند به طور مثال در مدل غیر خطی در صورت دادن حتی کوچک‌ترین میزان انحراف از حالت تعادل (به طور مثال ۰.۰۰۱ درجه) به زاویه‌ی فراز یا زاویه‌ی حرکت فیدبک حالت بسیار سریع (کمتر از ۰.۰۱ ثانیه) واگرا می‌شود و این به این معنی نیست که برای زاویه ارتفاع رفتار مناسبی دارد بلکه برای زاویه ارتفاع تنها برای انحراف‌های مثبت (خلاف جهت جاذبه) توانایی کنترل برای مدتی کوتاه دارد و واگرایی‌های حل در هر دو نرم‌افزارهای آدامز و سیمولینک مشاهده می‌شود.

تغییر در تِلرانس ۱۰ درصدی پارامترهای ثابت سیستم و اثرشان بر پایداری حل

جدول ۱-۶: میزان تأثیر پارامترهای ثابت سیستم بر خروجی سیستم خطی سازی شده

	$M_w$	$M_f$	$M_b$	$L_a$	$L_h$	$L_w$	$K_f$
	+۱۰٪	-۷۰۰٪	+۵۰٪	+۳۰٪	بدون تغییر محسوس	-۶۰۰٪	بدون تغییر محسوس
	-۱۰٪	+۱۰٪	-۱۴۲٪	-۱۴۲٪	بدون تغییر محسوس	+۱۰٪	بدون تغییر محسوس

با توجه به جدول ۱-۶ نتیجه می‌شود  $L_a$  تأثیرگذارترین کمیت بر دینامیک سیستم است.

گین فیدبک‌های در تمامی قسمت‌ها بزرگ‌تر از  $10^3$  می‌باشد و این مسئله امکان ساخت این کنترل کننده‌ها را محدود می‌کند.

برای استفاده از ترکیب فیدبک حالت و رویتگر باید قطب‌های همه‌ی آن‌ها پایدار (سمت چپ محور مختلط) و قطب‌های رویتگر باید بین ۳ تا ۴ برابر سریع‌تر (دورتر از محور مختلط) از فیدبک باشد.

در استفاده از کنترل ردیاب انتگرال گیر باید دقت نمود مقادیر ویژه ماتریس  $A$  را خیلی دو از مبدا انتخاب نکرد به این علت که مقدار فیدبک حالت از مقدار خروجی انتگرال بیشتر شده و نمی‌تواند سیستم را پایدار کند و در این گزارش مقدار مناسب قطب‌ها بین

$$\frac{[-۶.۵ - ۵.۵ - ۷ - ۱۶ - ۱۵ - ۹ - ۹.۵ - ۹]}{۵} > \text{مقدار مناسب} > \frac{[-۶.۵ - ۵.۵ - ۷ - ۱۶ - ۱۵ - ۹ - ۹.۵ - ۹]}{۸}$$

می‌باشد.

## ۷ جمع‌بندی و نتیجه‌گیری

برای مدل‌سازی غیر خطی برای دینامیک‌های ساده سیم‌اسکیپ توصیه می‌شود سرعت عمل بسیار بالایی دارد اما با افزایش تعداد اجزا سیستم تغییر و ابزارهای اصلاح مدل محدود هستند بنابراین برای دینامیک‌های پیچیده بهتر است از آدامز استفاده شود.

دقت هردو نرم‌افزار در داده دهی و خروجی مشابه یکدیگر می‌باشد ولی سرعت همگرا شدن حل آدامز حدود یک بیستم سیم‌اسکیپ می‌باشد.

در فرآیند خطی‌سازی سیستم سادگی حاصل باعث از بین رفتن دقت می‌شود و برای کمتر ۱۰ درجه محدوده کاری موثر است و در صورت خروج متغیرهای حالت سیستم (زوایای اندازه‌گیری شده) از تولرانس ۱۰ درجه‌ای رفتار سیستم از آن لحظه به بعد یا حداقل برای مدتی در محدوده غیرقابل استفاده می‌باشد.

در استفاده از فیدبک حالت مرتبه گین‌های سیستم گاهی از مرتبه  $10^{+5}$  برای سیستم با جابجایی قطب کند تا  $10^{+6}$  برای جابجایی قطب سریع تغییر می‌کرد که در صورت اعمال آن بر سیستم غیرخطی پس از گذشت حدود ۰.۵ ثانیه حل کاملاً واگرا می‌شد به این معنی که شتاب لازم برای ارضای آن گین از توان محاسباتی  $10^{256}$  فراتر می‌رود در نتیجه توجیه قابل قبولی برای کنترل سیستمی با چینش دینامیکی هلیکوپتر مورد بحث در این گزارش با کنترل‌های خطی در باز کاری بزرگ وجود ندارد.

کنترل ردیاب انتگرال‌گیر دارای دو خاصیت مهم می‌باشد. (۱) توانایی ردیابی خروجی و (۲) توانایی نسبی در کم اثر نمودن اثر اغتشاشات که در استفاده از کنترل‌های استاتیکی شبیه آن وجود ندارد.

در صورت استفاده از روش لیاپانوف و طراحی روی‌گر کاهش مرتبه‌یافته اگر متغیر حالت مد نظر در خروجی سیستم وجود داشته باشد ضرایب طوری به دست می‌آیند که ضریب  $y(t)$  دقیقاً هدایت شود و ورودی  $u(t)$  نقشی در روی‌ت متغیر حالت نام برده نداشته باشد.

1. Chen, C.-T. (1999). "Linear System Theory and Design."
2. Popov, V. (1964). "Hyperstability and optimality of automatic systems with several control functions." Rev. Roum. Sci. Tech., Ser. Electrotech. Energ **9**(4): 629-690.
3. Rissanen, J. (1960). "Control system synthesis by analogue computer based on the generalized linear feedback concept." Int. Sem. on Analogue Computation to the study of Chemical processes, Brussels.
4. Mirko Brentari, Paolo Bosetti, Isabelle Queinnec, and Luca Zaccarian (January 22, 2018) "A complete benchmark model of Quanser's 3 DOF Helicopter Simulink c implementation " (Simscape Model)

```

%xT=[e rho Landa edot rhodot Landadot]
%_____Constant_____
%
g=9.81; Kf=0.1188 %[Newton/Volt];
%_____Meter_____
La=0.66; Lh=0.178; Lw=0.47;
%_____KG_____
Mw=1.78; Mf=0.713; Mb=0.713; Mh=1.15;
%
CA1=-((Lw*Mw-La*(Mf+Mb))/(Mw*Lw*Lw+Lh*Lh*(Mf+Mb)+La*La*(Mf+Mb)));
CB1=(La*Kf)/(La^2*(Mf+Mb)+Mw*Lw^2);
CB2=0.5*(Kf/(Mf*Lh));
A=[0 0 0 1 0 0;0 0 0 0 1 0;0 0 0 0 0 1;0 0 0 0 0 0;0 0 0 0 0 0;0 CA1 0 0 0 0];
B=[0 0;0 0;0 0;CB1 CB1;CB2 -CB2;0 0];
C=[1 0 0 0 0 0;0 1 0 0 0 0;0 0 1 0 0 0];
D=[0 0;0 0;0 0];

sys=ss(A,B,C,D);
syms s t

Transfer_Matrix=(C*inv(s*eye(6)-A)*B);
Transfer_Matrix=ilaplace(C*inv(s*eye(6)-A)*B);
BIBOstability(t)=int(abs(Transfer_Matrix),t);
eig(A);
[a,v]=jordan(A);
%_____Controbility and observability_____
Controlibility=ctrb(A,B);
rank(Controlibility);
Observability=obsv(A,C);
rank(Observability);
%%_____state feed back in simulink_____
Poles_slow=[-4 -5 -6 -7 -8 -9];
Poles_Fast=[-12 -13 -14 -15 -16 -17];
K_Slow=place(A,B,Poles_slow);
K_Fast=place(A,B,Poles_Fast);
%%_____State feed back tracking_____
[n,n]=size(A);
AA=[A zeros(6,2);-1 0 0 0 0 0 0;0 0 -1 0 0 0 0];
BB=[B ; zeros(2,2)];
rank(ctrb(AA,BB));
CC=[C zeros(3,2)];
P_tracking=[-1.5 -10 -4 -16 -15 -25 -0.15 -0.16];
K_tracking=place(AA,BB,P_tracking);
K_trackink_1=K_tracking(1:2,1:6);K_trackink_2=K_tracking(1:2,7:8);

```

```

%%_____Full order estimator_____
LFobserver=[place(A',C',[-13 -14 -15 -16 -17 -18]))]'
%%_____Reduced order estimator_____
Doriginal=[0 0;0 0;0 0];
T=[6 20 3;4 5 6;7 8 9];
Di=diag([-15 -16 -17]);
L=lyap(-Di,A,T*C);
F=inv([C;L]);

```